

Algorithmen für Routenplanung

9. Vorlesung, Sommersemester 2016

Ben Strasser | 18. Mai 2016

INSTITUT FÜR THEORETISCHE INFORMATIK · ALGORITHMIK · PROF. DR. DOROTHEA WAGNER

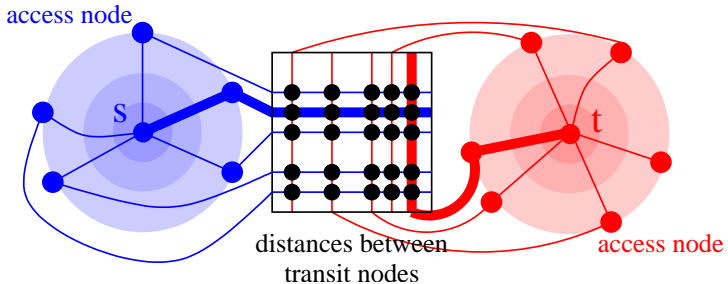


Kürzeste Wege in Straßennetzwerken

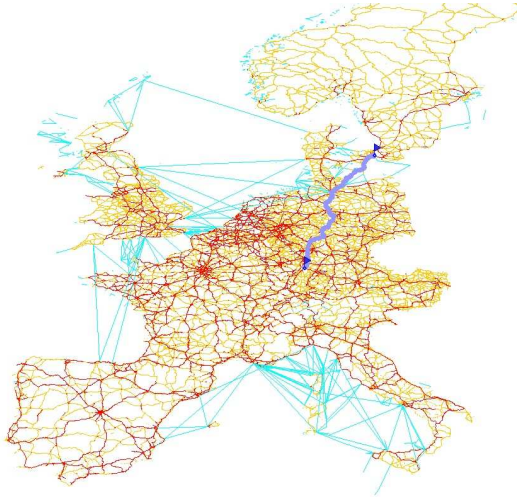
Beschleunigungstechniken (Fortsetzung)

- Transit-Node Routing (TNR)
- (G)PHAST

Transit-Node Routing



Transit-Node Routing

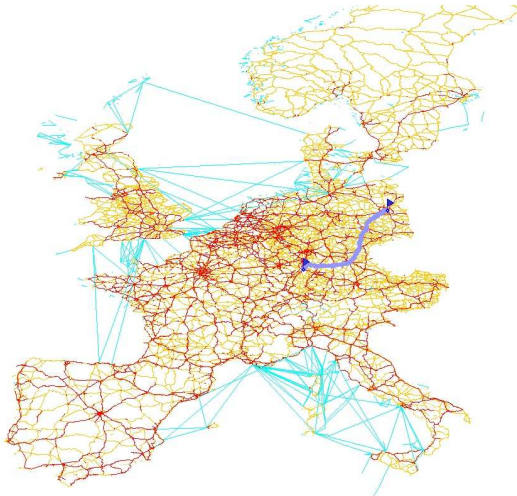


Beobachtung:

- wenn man weit weg fährt, fährt man immer an bestimmten Punkten vorbei
- hier: von Karlsruhe aus, an drei relevanten Stellen

Karlsruhe nach. . .
Kopenhagen

Transit-Node Routing

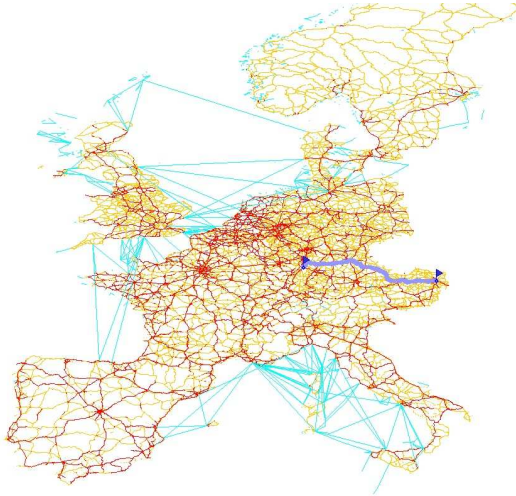


Beobachtung:

- wenn man weit weg fährt, fährt man immer an bestimmten Punkten vorbei
- hier: von Karlsruhe aus, an drei relevanten Stellen

Karlsruhe nach . . .
Berlin

Transit-Node Routing

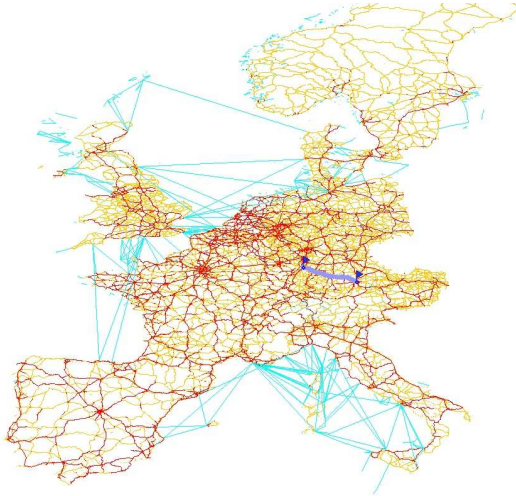


Beobachtung:

- wenn man weit weg fährt, fährt man immer an bestimmten Punkten vorbei
- hier: von Karlsruhe aus, an drei relevanten Stellen

Karlsruhe nach . .
Wien

Transit-Node Routing

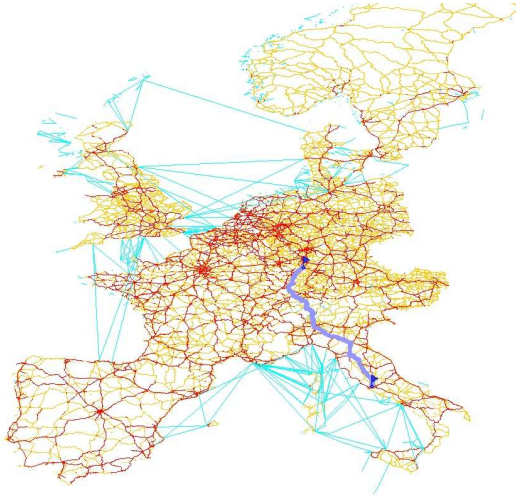


Beobachtung:

- wenn man weit weg fährt, fährt man immer an bestimmten Punkten vorbei
- hier: von Karlsruhe aus, an drei relevanten Stellen

Karlsruhe nach . . .
München

Transit-Node Routing

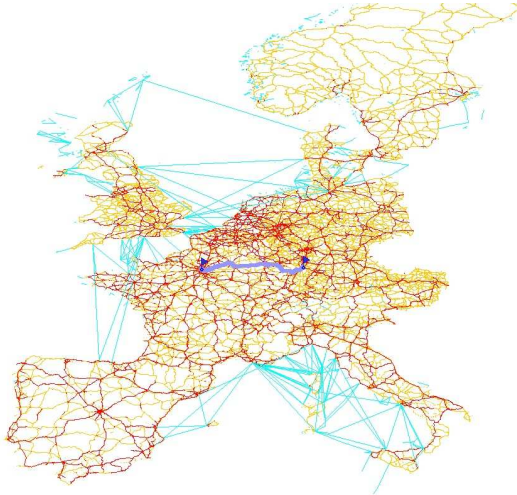


Beobachtung:

- wenn man weit weg fährt, fährt man immer an bestimmten Punkten vorbei
- hier: von Karlsruhe aus, an drei relevanten Stellen

Karlsruhe nach . . .
Rom

Transit-Node Routing

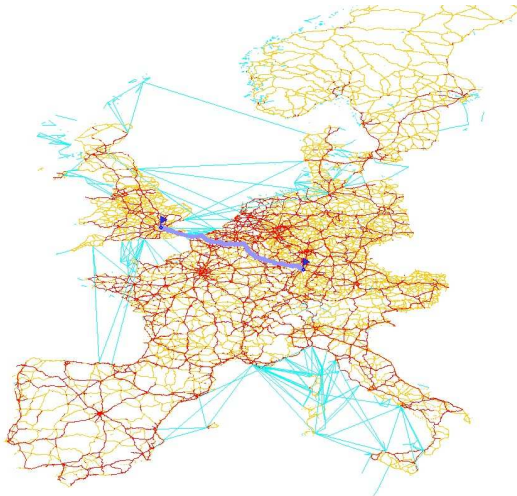


Beobachtung:

- wenn man weit weg fährt, fährt man immer an bestimmten Punkten vorbei
- hier: von Karlsruhe aus, an drei relevanten Stellen

Karlsruhe nach. . .
Paris

Transit-Node Routing

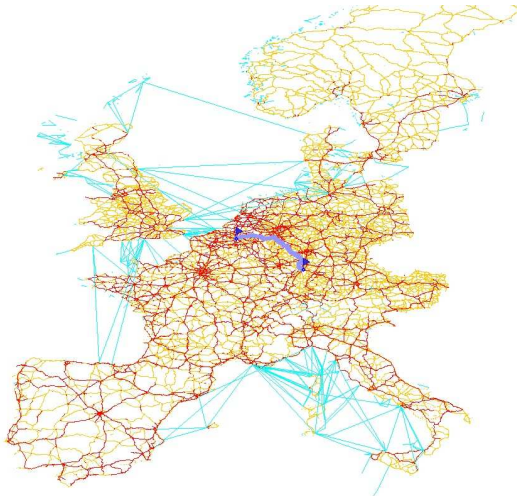


Beobachtung:

- wenn man weit weg fährt, fährt man immer an bestimmten Punkten vorbei
- hier: von Karlsruhe aus, an drei relevanten Stellen

Karlsruhe nach . . .
London

Transit-Node Routing

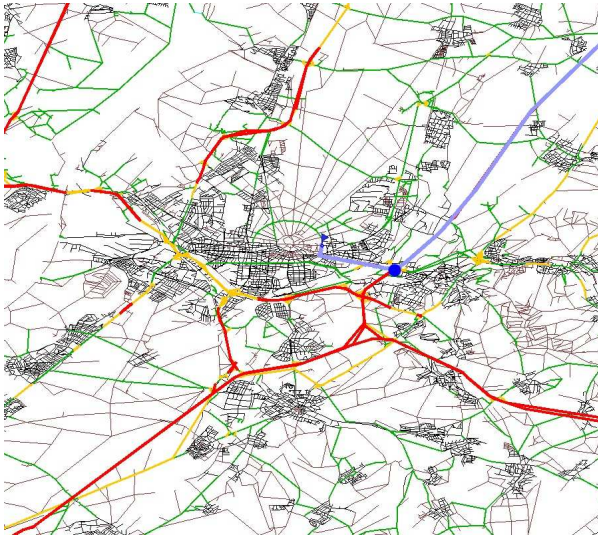


Beobachtung:

- wenn man weit weg fährt, fährt man immer an bestimmten Punkten vorbei
- hier: von Karlsruhe aus, an drei relevanten Stellen

Karlsruhe nach . . .
Brüssel

Transit-Node Routing

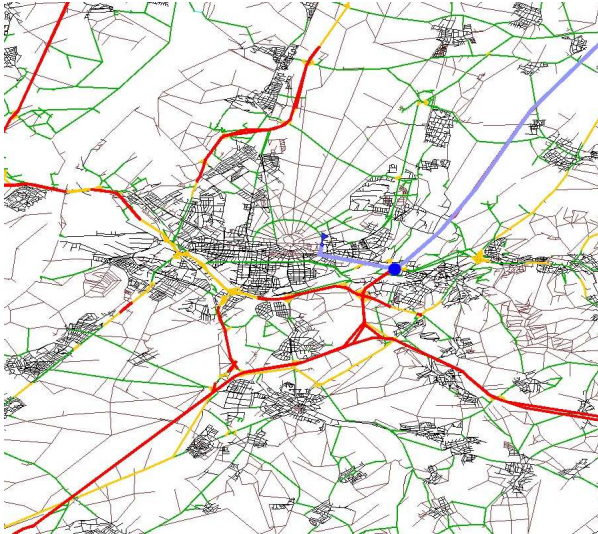


Beobachtung:

- wenn man weit weg fährt, fährt man immer an bestimmten Punkten vorbei
- hier: von Karlsruhe aus, an drei relevanten Stellen

Karlsruhe nach . . .
Kopenhagen

Transit-Node Routing

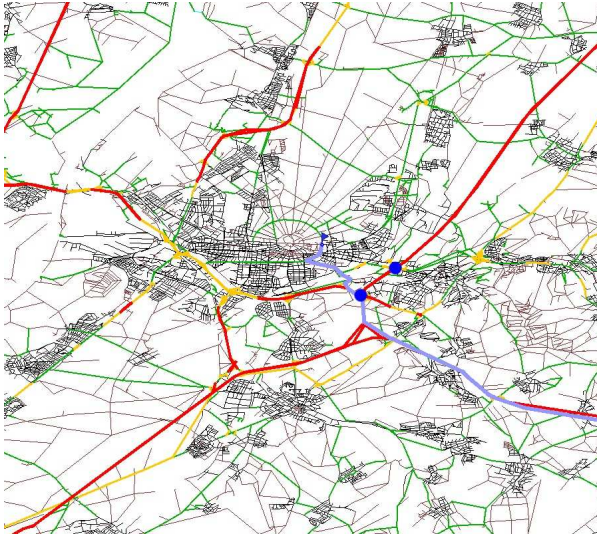


Beobachtung:

- wenn man weit weg fährt, fährt man immer an bestimmten Punkten vorbei
- hier: von Karlsruhe aus, an drei relevanten Stellen

Karlsruhe nach . . .
Berlin

Transit-Node Routing

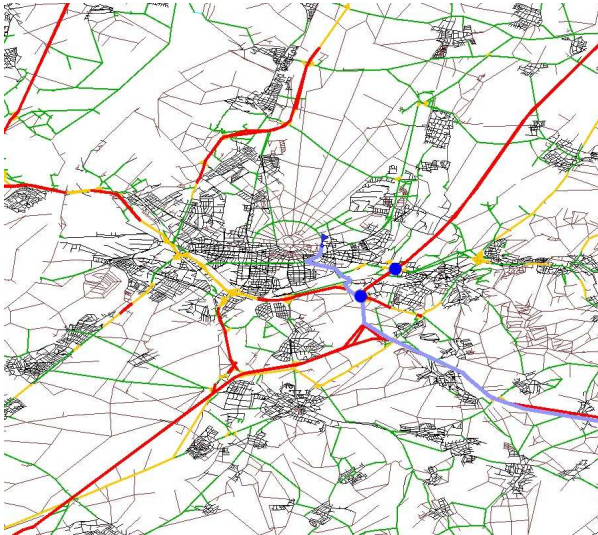


Beobachtung:

- wenn man weit weg fährt, fährt man immer an bestimmten Punkten vorbei
- hier: von Karlsruhe aus, an drei relevanten Stellen

Karlsruhe nach . . .
Wien

Transit-Node Routing

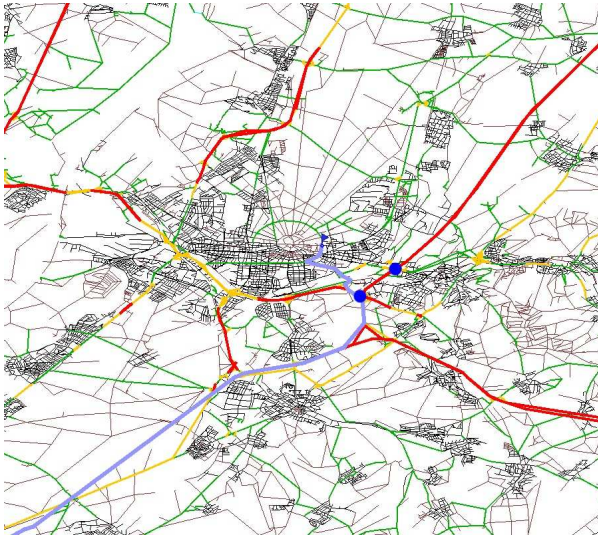


Beobachtung:

- wenn man weit weg fährt, fährt man immer an bestimmten Punkten vorbei
- hier: von Karlsruhe aus, an drei relevanten Stellen

Karlsruhe nach . . .
München

Transit-Node Routing

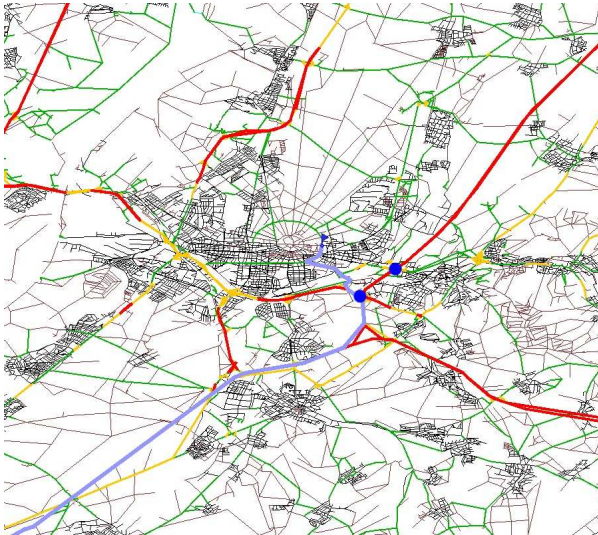


Beobachtung:

- wenn man weit weg fährt, fährt man immer an bestimmten Punkten vorbei
- hier: von Karlsruhe aus, an drei relevanten Stellen

Karlsruhe nach . . .
Rom

Transit-Node Routing

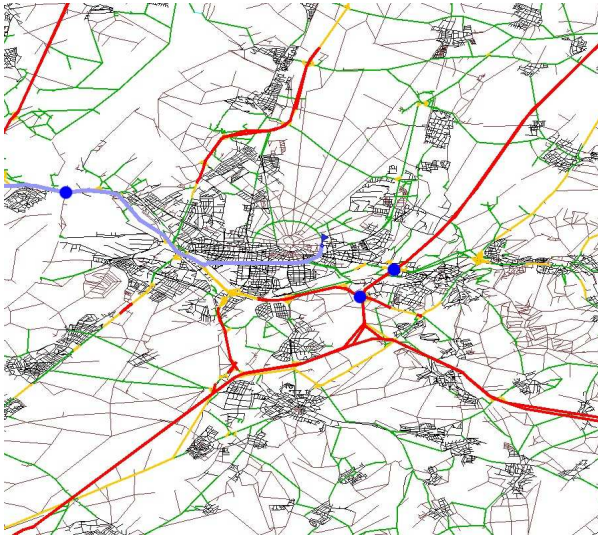


Beobachtung:

- wenn man weit weg fährt, fährt man immer an bestimmten Punkten vorbei
- hier: von Karlsruhe aus, an drei relevanten Stellen

Karlsruhe nach . . .
Paris

Transit-Node Routing

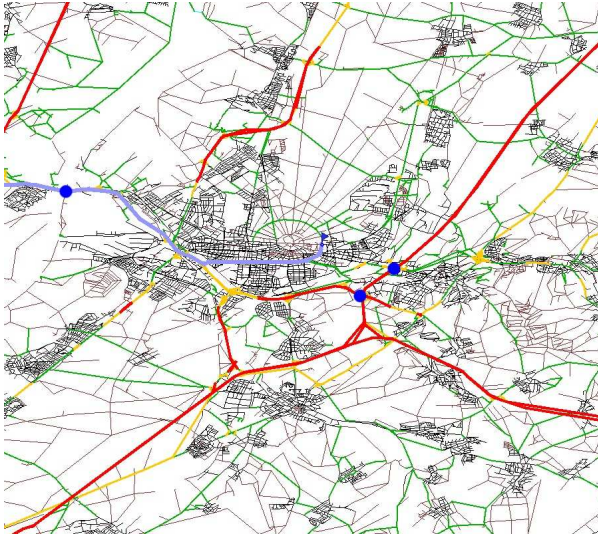


Beobachtung:

- wenn man weit weg fährt, fährt man immer an bestimmten Punkten vorbei
- hier: von Karlsruhe aus, an drei relevanten Stellen

Karlsruhe nach...
London

Transit-Node Routing



Beobachtung:

- wenn man weit weg fährt, fährt man immer an bestimmten Punkten vorbei
- hier: von Karlsruhe aus, an drei relevanten Stellen

Karlsruhe nach . . .
Brüssel

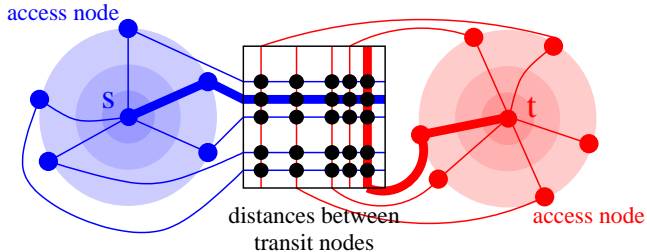
Transit-Node Routing

Idee:

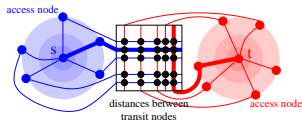
- reduziere Anfragen auf Zugriffe in eine quadratische Tabellen
- identifiziere “wichtige” Knoten
- vollständige Distanztabelle zwischen diesen Knoten

Probleme:

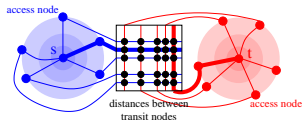
- Speicherverbrauch
- nahe Anfragen



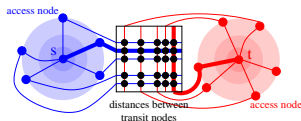
- Wähle **Transit-Knoten**: $T \subseteq V$
- Bestimme für jeden Knoten v eine Menge von Vorwärts $\vec{A}(v)$ und Rückwärts $\overleftarrow{A}(v)$ **Access-Knoten**
- Vorberechnete Distanzen: D_T und d_A



- Wähle **Transit-Knoten**: $T \subseteq V$
- Bestimme für jeden Knoten v eine Menge von Vorwärts $\vec{A}(v)$ und Rückwärts $\overleftarrow{A}(v)$ **Access-Knoten**
- Vorberechnete Distanzen: D_T und d_A



- Wähle **Transit-Knoten**: $T \subseteq V$
- Bestimme für jeden Knoten v eine Menge von Vorwärts $\vec{A}(v)$ und Rückwärts $\overleftarrow{A}(v)$ **Access-Knoten**
- Vorberechnete Distanzen: D_T und d_A
- $\text{dist}(s, t) \stackrel{?}{=} \min_{u \in \vec{A}(s), v \in \overleftarrow{A}(t)} \{d_A(s, u) + D_T(u, v) + d_A(v, t)\}$



- Wähle **Transit-Knoten**: $T \subseteq V$
- Bestimme für jeden Knoten v eine Menge von Vorwärts $\vec{A}(v)$ und Rückwärts $\overleftarrow{A}(v)$ **Access-Knoten**
- Vorberechnete Distanzen: D_T und d_A
- $\text{dist}(s, t) \stackrel{?}{=} \min_{u \in \vec{A}(s), v \in \overleftarrow{A}(t)} \{d_A(s, u) + D_T(u, v) + d_A(v, t)\}$

Berechnete Distanz nur für hinreichend weite Anfragen korrekt

- **Locality filter**: $L : V \times V \rightarrow \{\text{true}, \text{false}\}$
- true \rightarrow **Fallback-Routine** für lokale Anfragen
- Einseitige Fehler erlaubt

Also:

- Wie Transit-Knoten bestimmen?
- Wie Access-Knoten und deren Distanz bestimmen?
- Wie Distanztabelle zwischen Transit-Knoten berechnen?
- Welcher Lokalitätsfilter?
- Wie lokale Anfragen berechnen?

Also:

- Wie Transit-Knoten bestimmen?
- Wie Access-Knoten und deren Distanz bestimmen?
- Wie Distanztabelle zwischen Transit-Knoten berechnen?
- Welcher Lokalitätsfilter?
- Wie lokale Anfragen berechnen?

Ideen?

Also:

- Wie Transit-Knoten bestimmen?
- Wie Access-Knoten und deren Distanz bestimmen?
- Wie Distanztabelle zwischen Transit-Knoten berechnen?
- Welcher Lokalitätsfilter?
- Wie lokale Anfragen berechnen?

Ideen? Verschiedene Ansätze: Grid-based TNR [BFM06],

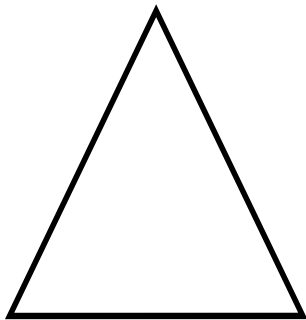
Hierarchie-basiertes TNR mit geometrischem
Lokalitätsfilter [BFM⁺07, GSSV12], **CH-TNR [ALS13]**

Transit Node Routing aufbauend auf CH

- CH für Vorbereitung und lokale Anfrage
- Top- k Knoten sind Transit-Knoten. . .

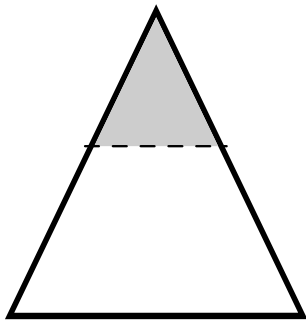
Transit Node Routing aufbauend auf CH

- CH für Vorbereitung und lokale Anfrage
- Top- k Knoten sind Transit-Knoten. . .



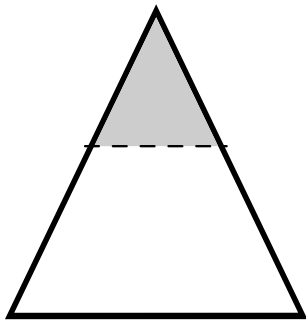
Transit Node Routing aufbauend auf CH

- CH für Vorbereitung und lokale Anfrage
- Top- k Knoten sind Transit-Knoten. . .



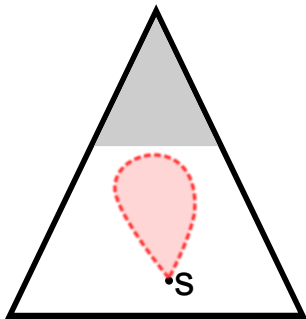
Transit Node Routing aufbauend auf CH

- CH für Vorberechnung und lokale Anfrage
- Top- k Knoten sind Transit-Knoten. . .
- . . . und damit die Access-Nodes berechnen



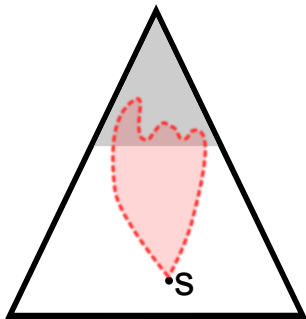
Transit Node Routing aufbauend auf CH

- CH für Vorberechnung und lokale Anfrage
- Top- k Knoten sind Transit-Knoten. . .
- . . . und damit die Access-Nodes berechnen



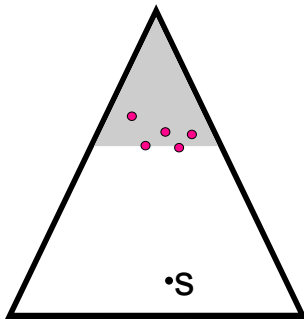
Transit Node Routing aufbauend auf CH

- CH für Vorberechnung und lokale Anfrage
- Top- k Knoten sind Transit-Knoten. . .
- . . . und damit die Access-Nodes berechnen



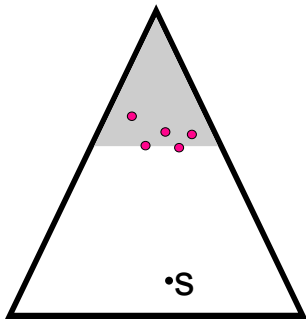
Transit Node Routing aufbauend auf CH

- CH für Vorbereitung und lokale Anfrage
- Top- k Knoten sind Transit-Knoten. . .
- . . . und damit die Access-Nodes berechnen



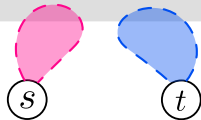
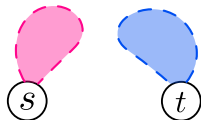
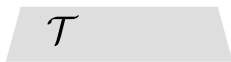
Transit Node Routing aufbauend auf CH

- CH für Vorbereitung und lokale Anfrage
- Top- k Knoten sind Transit-Knoten. . .
- . . . und damit die Access-Nodes berechnen
- **Lokalitätsfilter!**?



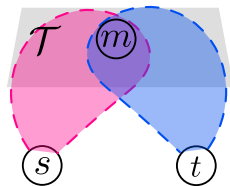
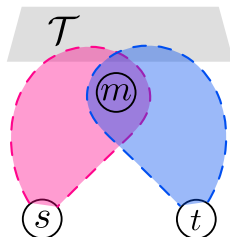
Eigenschaften einer lokalen Anfrage

- Betrachte den höchsten Knoten m auf einem kürzesten CH hoch-runter st -Pfad



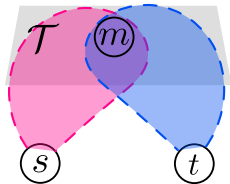
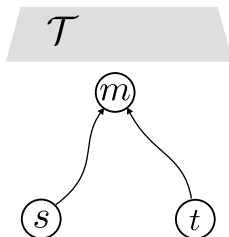
Eigenschaften einer lokalen Anfrage

- Betrachte den höchsten Knoten m auf einem kürzesten CH hoch-runter st -Pfad



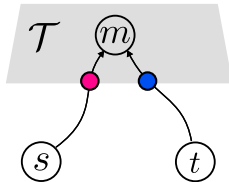
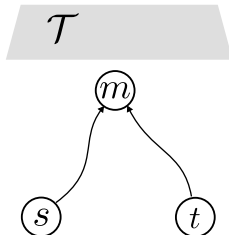
Eigenschaften einer lokalen Anfrage

- Betrachte den höchsten Knoten m auf einem kürzesten CH hoch-runter st -Pfad



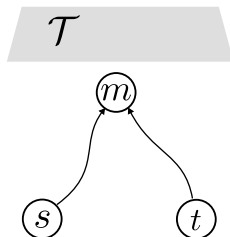
Eigenschaften einer lokalen Anfrage

- Betrachte den höchsten Knoten m auf einem kürzesten CH hoch-runter st -Pfad
- $m \notin \mathcal{T} \iff$ lokale Anfrage



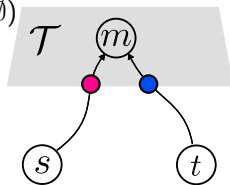
Eigenschaften einer lokalen Anfrage

- Betrachte den höchsten Knoten m auf einem kürzesten CH hoch-runter st -Pfad
- $m \notin \mathcal{T} \iff$ lokale Anfrage



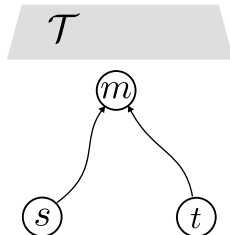
Suchraum-basierter Lokalisitätsfilter

- Speichere Suchraum **unterhalb** der Transit-Knoten
 $S : V \rightarrow V \setminus \mathcal{T}$ explizit
- Fällt bei der Access-Knoten-Berechnung als Beiprodukt ab
- Während der Anfrage: $\mathcal{L} = (S(s) \cap S(t) \neq \emptyset)$
- **Braucht viel Speicher!**



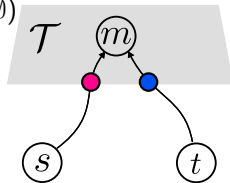
Eigenschaften einer lokalen Anfrage

- Betrachte den höchsten Knoten m auf einem kürzesten CH hoch-runter st -Pfad
- $m \notin \mathcal{T} \iff$ lokale Anfrage

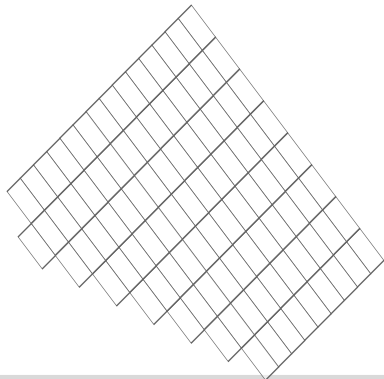


Suchraum-basierter Lokalisitätsfilter

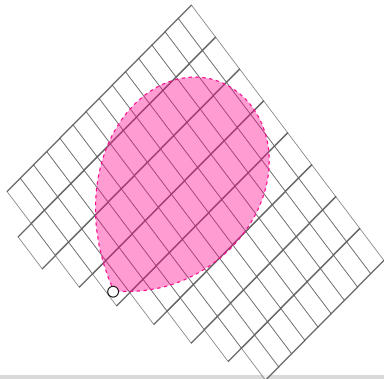
- Speichere Suchraum **unterhalb** der Transit-Knoten
 $S : V \rightarrow V \setminus \mathcal{T}$ explizit
- Fällt bei der Access-Knoten-Berechnung als Beiprodukt ab
- Während der Anfrage: $\mathcal{L} = (S(s) \cap S(t) \neq \emptyset)$
- **Braucht viel Speicher!**
- Einseitiger Fehler erlaubt



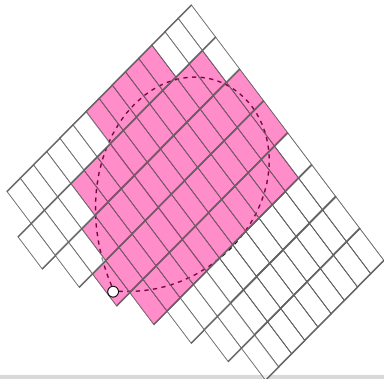
- Partitioniere Graph in Regionen
- Überapproximation des Suchraum mittels **berührter** Regionen.
- Wenn x im Suchraum $S(s)$ ist dann ist die Region $R(x)$ im approximierten Suchraum $S'(s)$



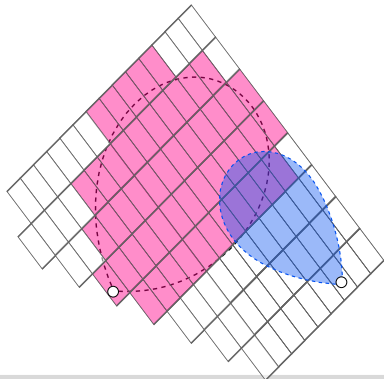
- Partitioniere Graph in Regionen
- Überapproximation des Suchraum mittels **berührter** Regionen.
- Wenn x im Suchraum $S(s)$ ist dann ist die Region $R(x)$ im approximierten Suchraum $S'(s)$



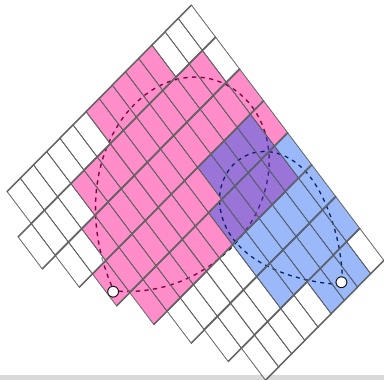
- Partitioniere Graph in Regionen
- Überapproximation des Suchraum mittels **berührter** Regionen.
- Wenn x im Suchraum $S(s)$ ist dann ist die Region $R(x)$ im approximierten Suchraum $S'(s)$



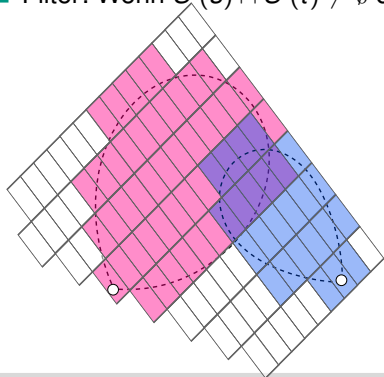
- Partitioniere Graph in Regionen
- Überapproximation des Suchraum mittels **berührter** Regionen.
- Wenn x im Suchraum $S(s)$ ist dann ist die Region $R(x)$ im approximierten Suchraum $S'(s)$
- $m \in S(s) \cap S(t) \implies R(m) \in S'(s) \cap S'(t)$

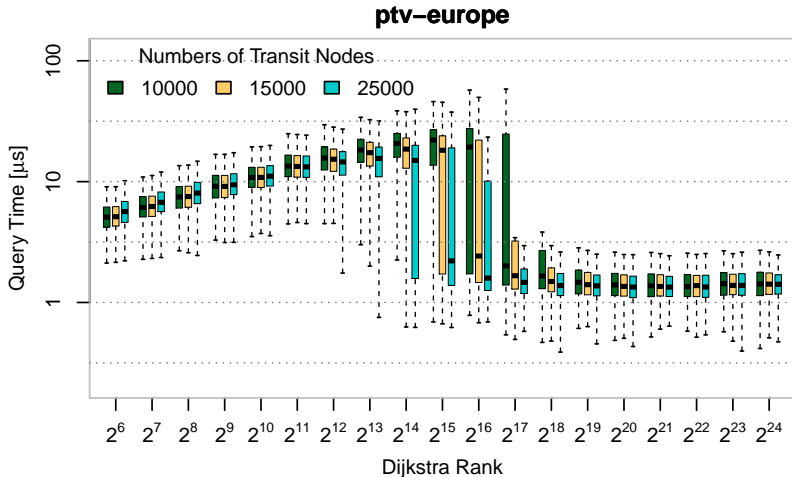


- Partitioniere Graph in Regionen
- Überapproximation des Suchraum mittels **berührter** Regionen.
- Wenn x im Suchraum $S(s)$ ist dann ist die Region $R(x)$ im approximierten Suchraum $S'(s)$
- $m \in S(s) \cap S(t) \implies R(m) \in S'(s) \cap S'(t)$



- Partitioniere Graph in Regionen
- Überapproximation des Suchraum mittels **berührter** Regionen.
- Wenn x im Suchraum $S(s)$ ist dann ist die Region $R(x)$ im approximierten Suchraum $S'(s)$
- $m \in S(s) \cap S(t) \implies R(m) \in S'(s) \cap S'(t)$
- Filter: Wenn $S'(s) \cap S'(t) \neq \emptyset$ dann lokal



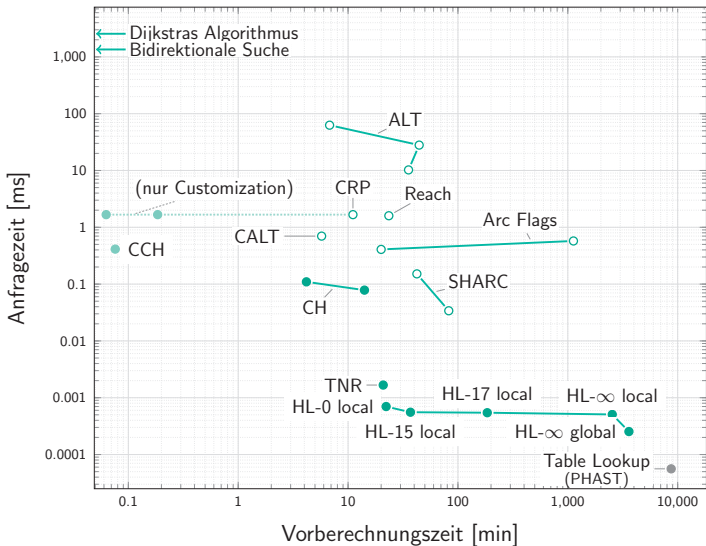


Frage: Welche durchschnittliche Laufzeit ergibt sich?

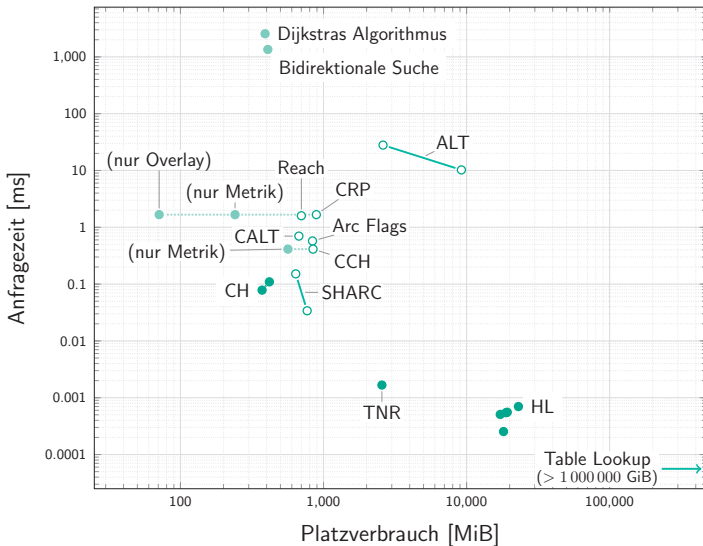
Transit-Node Routing

- ersetzt Suche (fast) komplett durch Table-Lookups
- 4 Zutaten:
 - Transit-Nodes
 - Distanztabelle
 - Access-Nodes
 - Locality-Filter

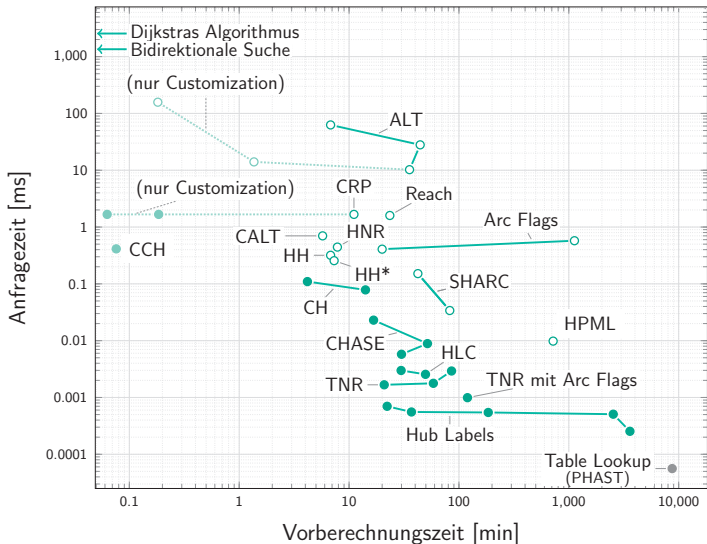
Übersicht bisherige Techniken



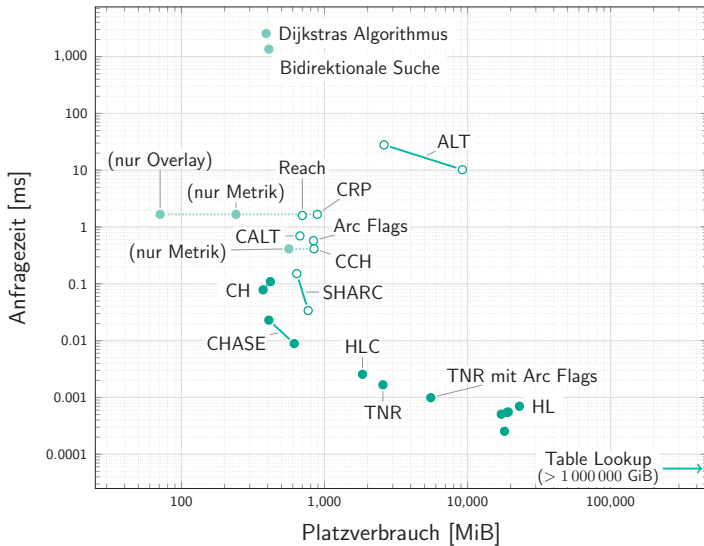
Übersicht bisherige Techniken



“Komplett” übersicht One-to-One



“Komplett”übersicht One-to-One



PHAST



bisher

- Finde einen st -Pfad

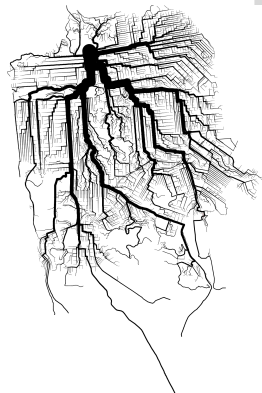
jetzt

- one-to-all: Von s zu allen Knoten
- all-to-all: Berechne alle kürzesten Wege

Kürzeste-Wege Bäume

Anfrage:

- gegeben ein nicht negativ gewichteter gerichteter Graph und Knoten s
- berechne Distanzen von s zu *allen* anderen



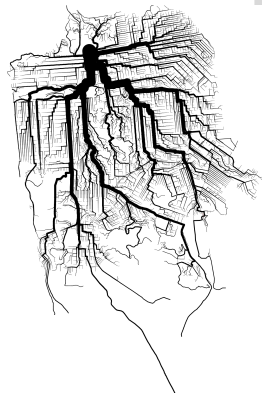
Kürzeste-Wege Bäume

Anfrage:

- gegeben ein nicht negativ gewichteter gerichteter Graph und Knoten s
- berechne Distanzen von s zu *allen* anderen

Lösung:

- Dijkstra [Dij59]



Anfrage:

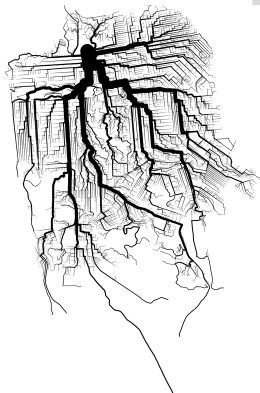
- gegeben ein nicht negativ gewichteter gerichteter Graph und Knoten s
- berechne Distanzen von s zu *allen* anderen

Lösung:

- Dijkstra [Dij59]

Fakten:

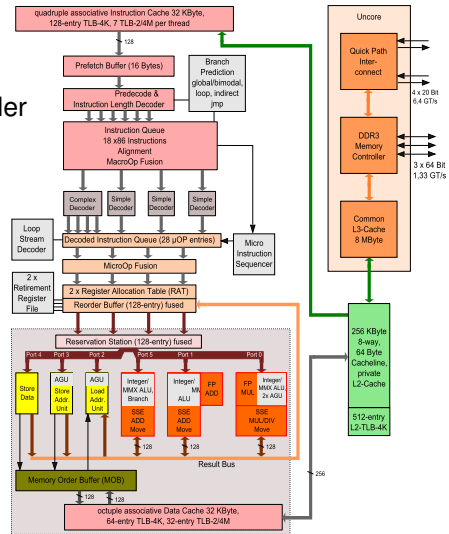
- $O(m + n \log n)$ mit Fibonacci Heaps [FT87]
- **linear** (mit kleiner Konstanten) in Praxis [Gol01]
- Ausnutzung von moderner Hardware schwierig



Einige Fakten:

- viele Kerne
- mehr Kerne als Speichercontroller
- Hyperthreading
- Multi-Sockel System
- steile Speicherhierarchie
- Cache coherency

Intel Nehalem microarchitecture



GT/s: gigatransfers per second

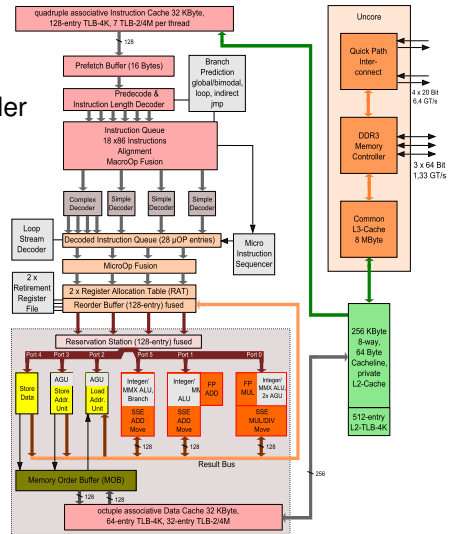
Einige Fakten:

- viele Kerne
- mehr Kerne als Speicherkontroller
- Hyperthreading
- Multi-Sockel System
- steile Speicherhierarchie
- Cache coherency

Haupt Herausforderungen:

- Parallelisierung
- Speicherzugriff

Intel Nehalem microarchitecture



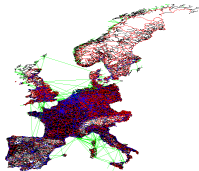
GT/s: gigatransfers per second

Ausnutzen von Moderner Hardware

Daten Lokalität

- Eingabe: West Europa
- 18M Knoten, 23M Strassen

Dijkstra: ≈ 3.0 s \Rightarrow nicht real-time



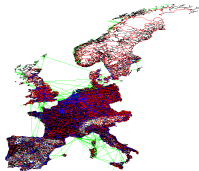
Core-i7 workstation (2.66 GHz)

Ausnutzen von Moderner Hardware

Daten Lokalität

- Eingabe: West Europa
- 18M Knoten, 23M Strassen

Dijkstra: ≈ 3.0 s \Rightarrow nicht real-time
 $n + m$ clock cycles: ≈ 15 ms \Rightarrow viel schneller



Core-i7 workstation (2.66 GHz)

Ausnutzen von Moderner Hardware

Daten Lokalität

- Eingabe: West Europa
- 18M Knoten, 23M Strassen

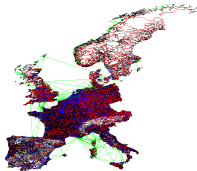
Dijkstra: ≈ 3.0 s \Rightarrow nicht real-time

$n + m$ clock cycles: ≈ 15 ms \Rightarrow viel schneller

BFS: ≈ 2.0 s

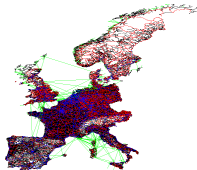
- Verlangsamung kommt nicht durch Priorityqueue allein

Core-i7 workstation (2.66 GHz)



Daten Lokalität

- Eingabe: West Europa
- 18M Knoten, 23M Strassen
 - Dijkstra: ≈ 3.0 s \Rightarrow nicht real-time
 - $n + m$ clock cycles: ≈ 15 ms \Rightarrow viel schneller
 - BFS: ≈ 2.0 s
- Verlangsamung kommt nicht durch Priorityqueue allein



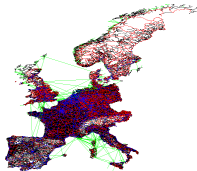
Core-i7 workstation (2.66 GHz)

Parallelisierung:

- Spekulation
- Δ -stepping [MS03]
- mehr Operationen als Dijkstra
- keine grosse Beschleunigung auf dünnen Graphen

Daten Lokalität

- Eingabe: West Europa
- 18M Knoten, 23M Strassen
- Dijkstra: ≈ 3.0 s \Rightarrow nicht real-time
- $n + m$ clock cycles: ≈ 15 ms \Rightarrow viel schneller
- BFS: ≈ 2.0 s
- Verlangsamung kommt nicht durch Priorityqueue allein



Core-i7 workstation (2.66 GHz)

Parallelisierung:

- Spekulation
- Δ -stepping [MS03]
- mehr Operationen als Dijkstra
- keine grosse Beschleunigung auf dünnen Graphen
- Berechnen von mehreren Bäumen ist einfach

Ansatz 1

Idee:

- Umordnen der Knoten im Graphen

Idee:

- Umordnen der Knoten im Graphen

algorithm	details	time per tree [ms]		
		random	input	DFS
Dijkstra	binary heap	11159	5859	5180
	Dial	7767	3538	2908
	smart queue	7991	3556	2826
BFS	—	6060	2445	2068

(Achtung: One-to-All & Älterer Rechner)

Idee:

- Umordnen der Knoten im Graphen

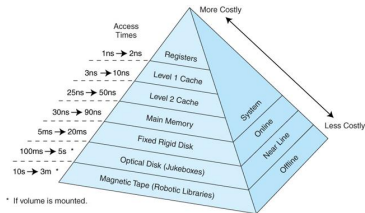
algorithm	details	time per tree [ms]		
		random	input	DFS
Dijkstra	binary heap	11159	5859	5180
	Dial	7767	3538	2908
	smart queue	7991	3556	2826
BFS	—	6060	2445	2068

(Achtung: One-to-All & Älterer Rechner)

⇒ keine grosse Beschleunigung

Dijkstra's Algorithmus:

- moderne Hardware nicht ausgenutzt
- Hauptprobleme:
 - Daten Lokalität
 - Parallelisierung

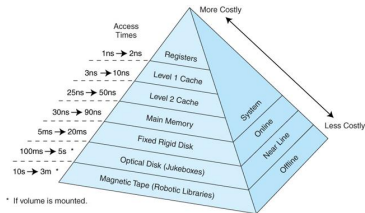


Dijkstra's Algorithmus:

- moderne Hardware nicht ausgenutzt
- Hauptprobleme:
 - Daten Lokalität
 - Parallelisierung

Fragen:

- hilft Vorbereitung?
- wie?
- Ansatzpunkt?



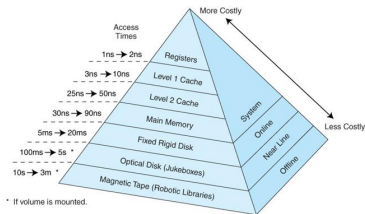
Dijkstra's Algorithmus:

- moderne Hardware nicht ausgenutzt
- Hauptprobleme:
 - Daten Lokalität
 - Parallelisierung

Fragen:

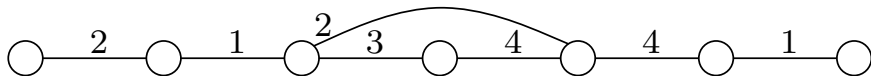
- hilft Vorbereitung?
- wie?
- Ansatzpunkt?

PHAST: Hardware-Accelerated Shortest path Trees



Contraction Hierarchies

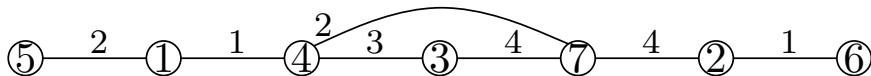
preprocessing:



Contraction Hierarchies

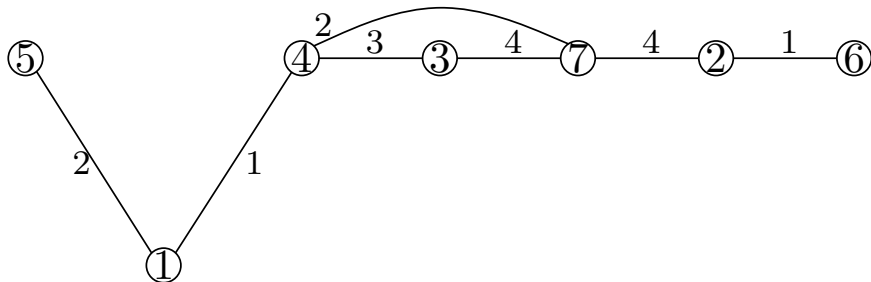
preprocessing:

- ordne Knoten nach Wichtigkeit



preprocessing:

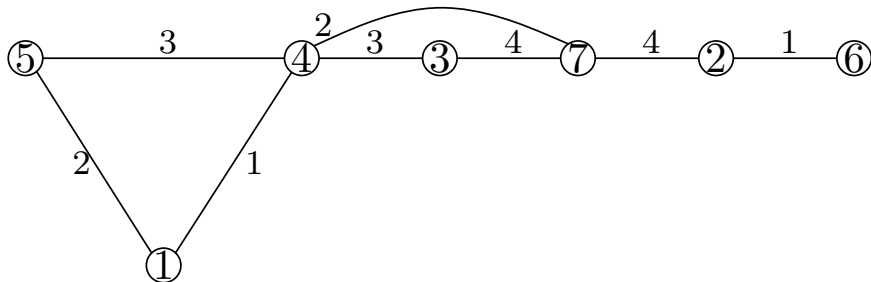
- ordne Knoten nach Wichtigkeit
- bearbeite in der Reihenfolge
- füge Shortcuts hinzu



Contraction Hierarchies

preprocessing:

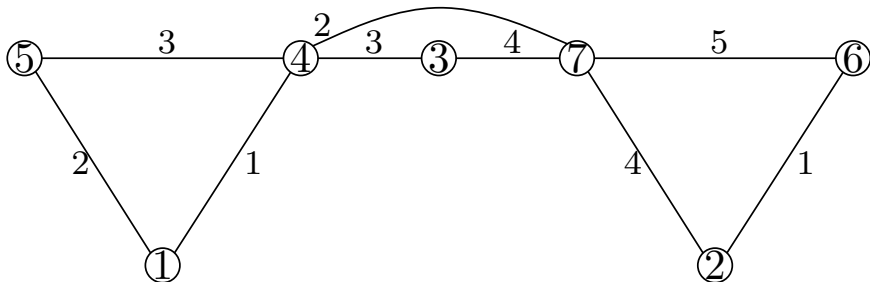
- ordne Knoten nach Wichtigkeit
- bearbeite in der Reihenfolge
- füge Shortcuts hinzu



Contraction Hierarchies

preprocessing:

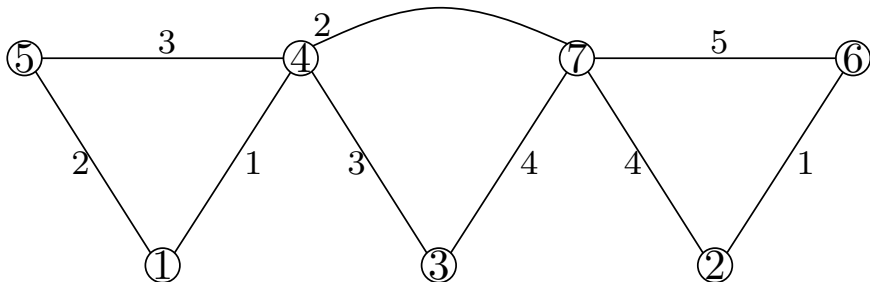
- ordne Knoten nach Wichtigkeit
- bearbeite in der Reihenfolge
- füge Shortcuts hinzu



Contraction Hierarchies

preprocessing:

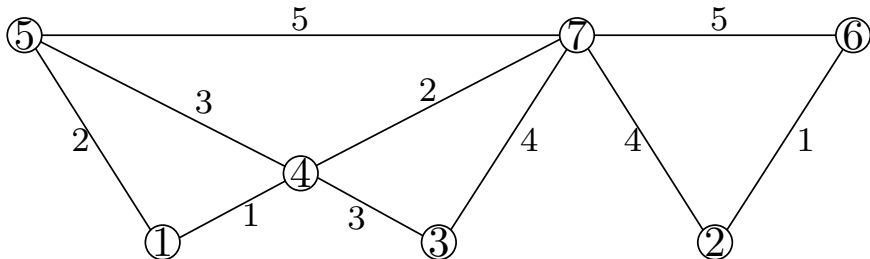
- ordne Knoten nach Wichtigkeit
- bearbeite in der Reihenfolge
- füge Shortcuts hinzu



Contraction Hierarchies

preprocessing:

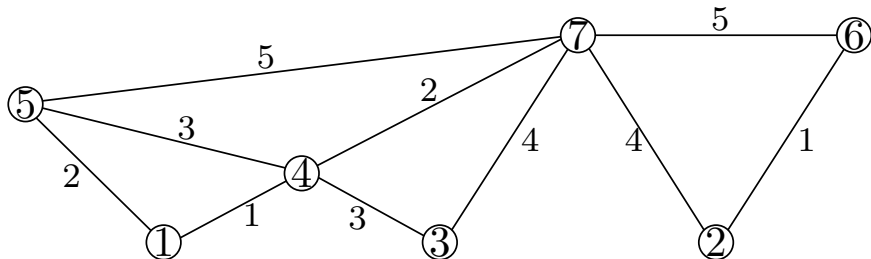
- ordne Knoten nach Wichtigkeit
- bearbeite in der Reihenfolge
- füge Shortcuts hinzu



Contraction Hierarchies

preprocessing:

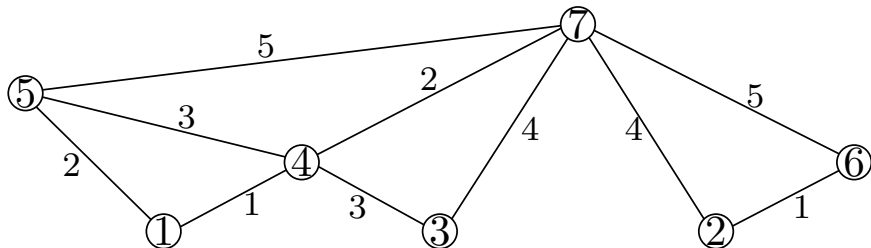
- ordne Knoten nach Wichtigkeit
- bearbeite in der Reihenfolge
- füge Shortcuts hinzu



Contraction Hierarchies

preprocessing:

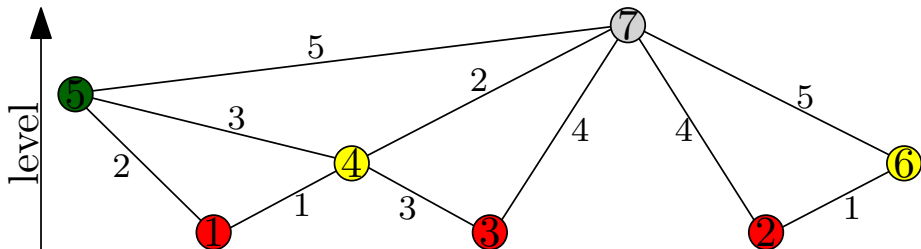
- ordne Knoten nach Wichtigkeit
- bearbeite in der Reihenfolge
- füge Shortcuts hinzu



Contraction Hierarchies

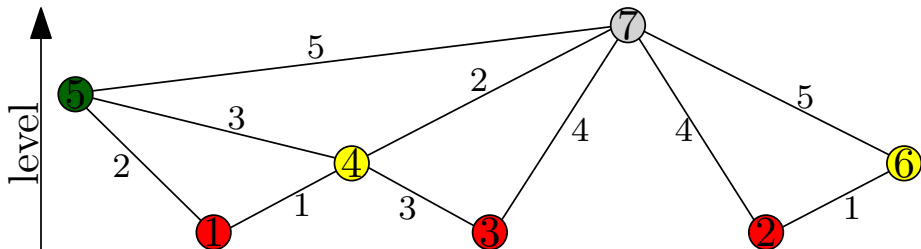
preprocessing:

- ordne Knoten nach Wichtigkeit
- bearbeite in der Reihenfolge
- füge Shortcuts hinzu
- Levelzuordnung (ca. 150 in Strassennetzwerken)



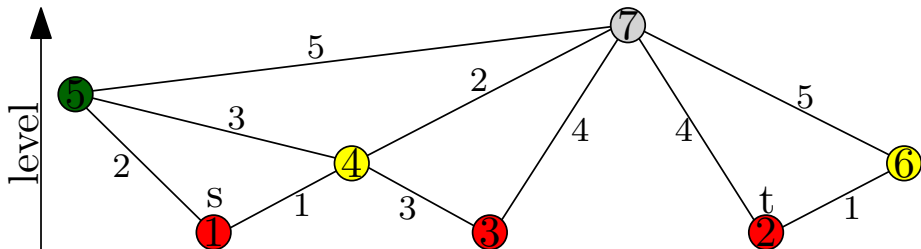
Punkt-zu-Punkt Anfragen

- modifizierter **bidirektionaler** Dijkstra
- folge nur Kanten zu wichtigeren Knoten
- besucht nur 500 Knoten



Punkt-zu-Punkt Anfragen

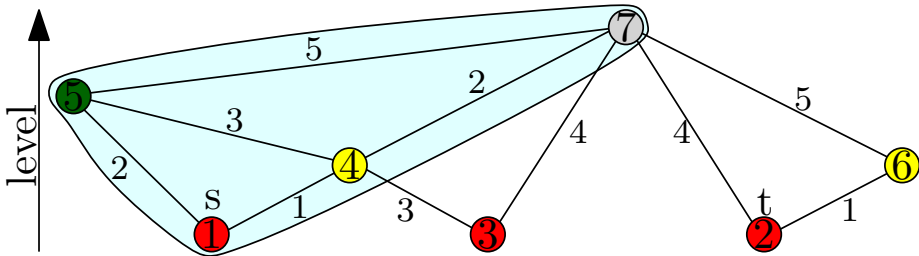
- modifizierter **bidirektionaler** Dijkstra
- folge nur Kanten zu wichtigeren Knoten
- besucht nur 500 Knoten



Contraction Hierarchies

Punkt-zu-Punkt Anfragen

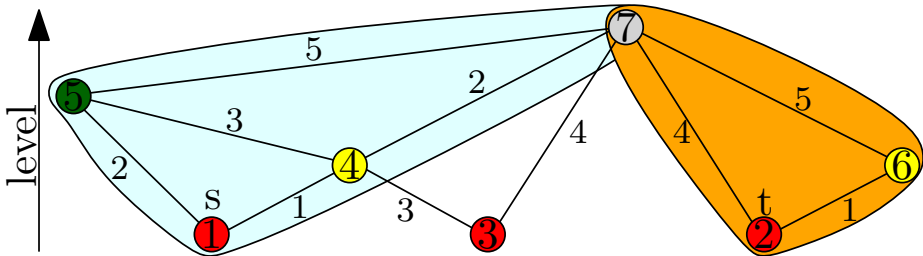
- modifizierter **bidirektionaler** Dijkstra
- folge nur Kanten zu wichtigeren Knoten
- besucht nur 500 Knoten



Contraction Hierarchies

Punkt-zu-Punkt Anfragen

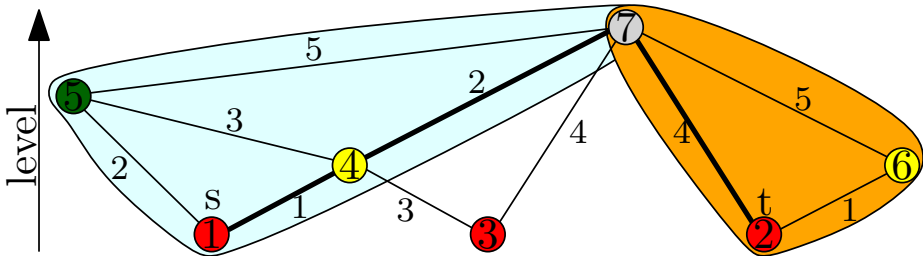
- modifizierter **bidirektionaler** Dijkstra
- folge nur Kanten zu wichtigeren Knoten
- besucht nur 500 Knoten



Contraction Hierarchies

Punkt-zu-Punkt Anfragen

- modifizierter **bidirektionaler** Dijkstra
- folge nur Kanten zu wichtigeren Knoten
- besucht nur 500 Knoten

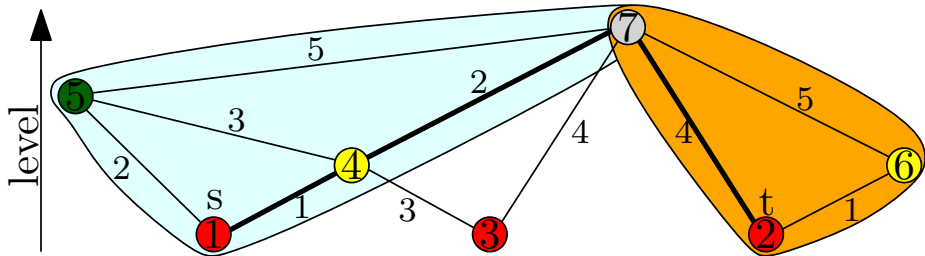


Punkt-zu-Punkt Anfragen

- modifizierter **bidirektionaler** Dijkstra
- folge nur Kanten zu wichtigeren Knoten
- besucht nur 500 Knoten

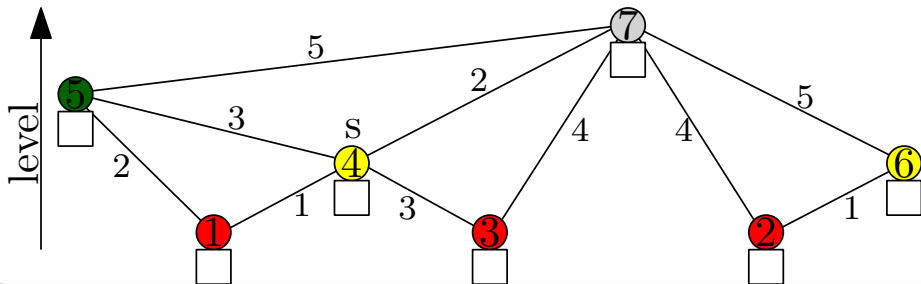
Korrektheit:

- es gibt einen wichtigsten Knoten auf dem Pfad
- dieser wird von Vorwärts- und Rückwärtssuche gescannt



Neuer Anfragealgorithmus

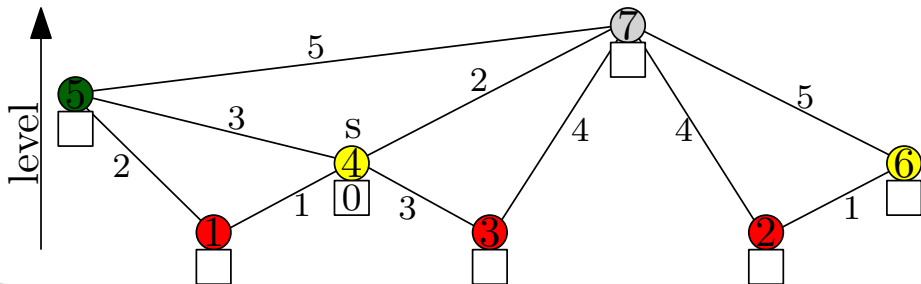
one-to-all Suche von s :



Neuer Anfragealgorithmus

one-to-all Suche von s :

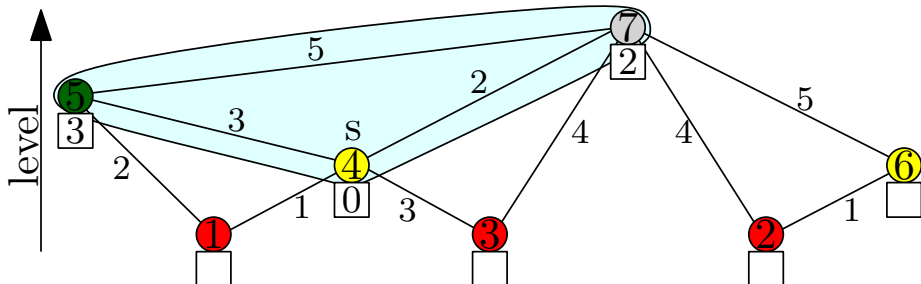
- vorwärts CH Suche von s (≈ 0.05 ms)



Neuer Anfragealgorithmus

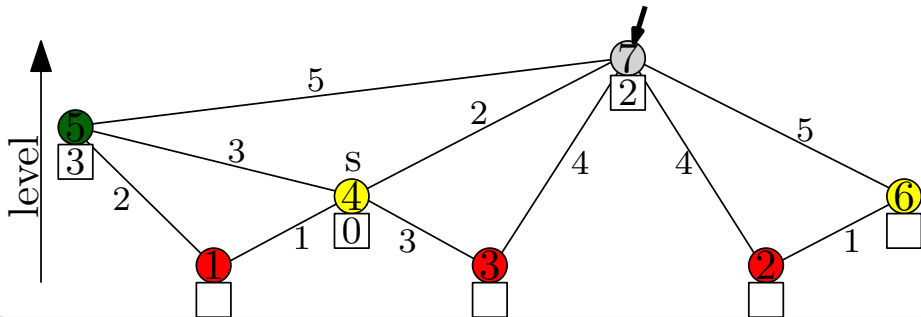
one-to-all Suche von s :

- vorwärts CH Suche von s (≈ 0.05 ms)
- setze Distanzen d für alle erreichten Knoten



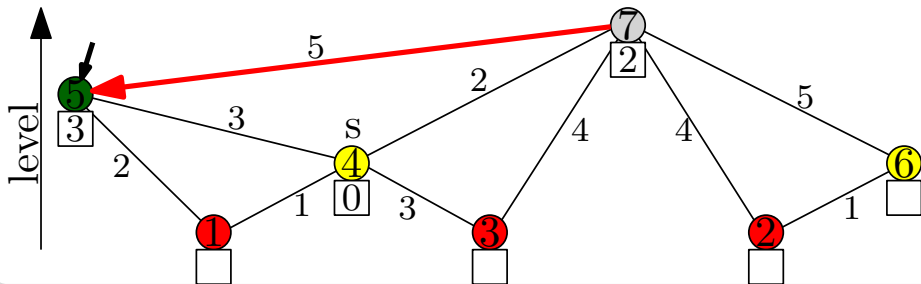
one-to-all Suche von s :

- vorwärts CH Suche von s (≈ 0.05 ms)
- setze Distanzen d für alle erreichten Knoten
- bearbeite alle Knoten u in **inverser** Levelordnung:
 - checke **eingehende** Kanten (v, u) mit $lev(v) > lev(u)$
 - setze $d(u) = \min\{d(u), d(v) + w(v, u)\}$



one-to-all Suche von s :

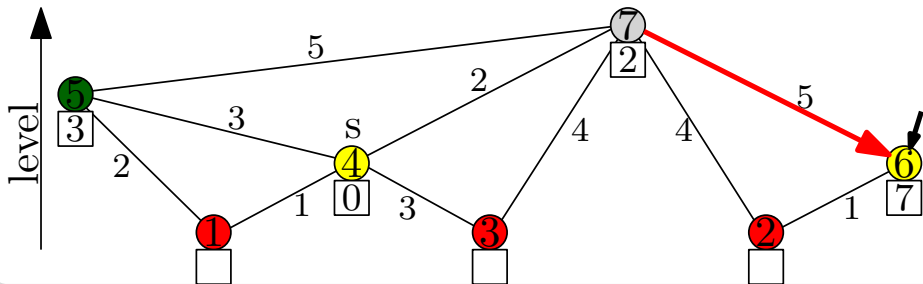
- vorwärts CH Suche von s (≈ 0.05 ms)
- setze Distanzen d für alle erreichten Knoten
- bearbeite alle Knoten u in **inverser** Levelordnung:
 - checke **eingehende** Kanten (v, u) mit $lev(v) > lev(u)$
 - setze $d(u) = \min\{d(u), d(v) + w(v, u)\}$



Neuer Anfragealgorithmus

one-to-all Suche von s :

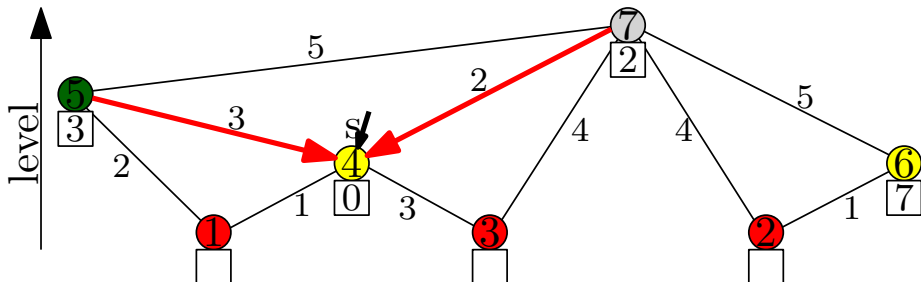
- vorwärts CH Suche von s (≈ 0.05 ms)
- setze Distanzen d für alle erreichten Knoten
- bearbeite alle Knoten u in **inverser** Levelordnung:
 - checke **eingehende** Kanten (v, u) mit $lev(v) > lev(u)$
 - setze $d(u) = \min\{d(u), d(v) + w(v, u)\}$



Neuer Anfragealgorithmus

one-to-all Suche von s :

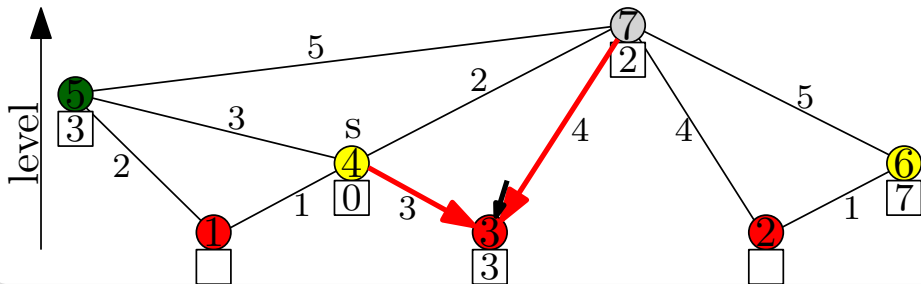
- vorwärts CH Suche von s (≈ 0.05 ms)
- setze Distanzen d für alle erreichten Knoten
- bearbeite alle Knoten u in **inverser** Levelordnung:
 - checke **eingehende** Kanten (v, u) mit $lev(v) > lev(u)$
 - setze $d(u) = \min\{d(u), d(v) + w(v, u)\}$



Neuer Anfragealgorithmus

one-to-all Suche von s :

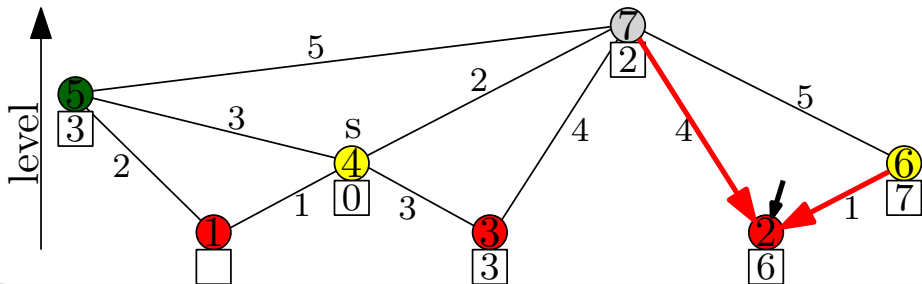
- vorwärts CH Suche von s (≈ 0.05 ms)
- setze Distanzen d für alle erreichten Knoten
- bearbeite alle Knoten u in **inverser** Levelordnung:
 - checke **eingehende** Kanten (v, u) mit $lev(v) > lev(u)$
 - setze $d(u) = \min\{d(u), d(v) + w(v, u)\}$



Neuer Anfragealgorithmus

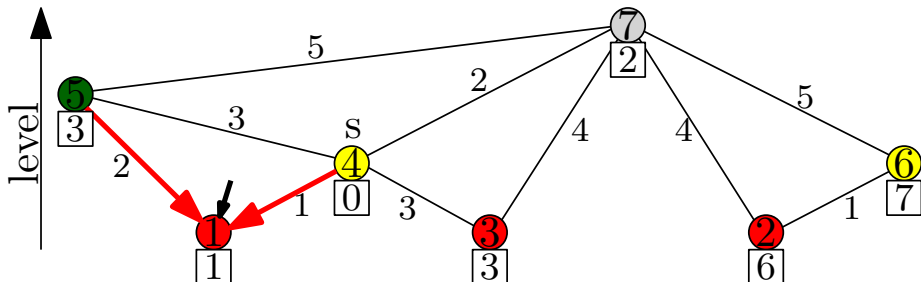
one-to-all Suche von s :

- vorwärts CH Suche von s (≈ 0.05 ms)
- setze Distanzen d für alle erreichten Knoten
- bearbeite alle Knoten u in **inverser** Levelordnung:
 - checke **eingehende** Kanten (v, u) mit $lev(v) > lev(u)$
 - setze $d(u) = \min\{d(u), d(v) + w(v, u)\}$



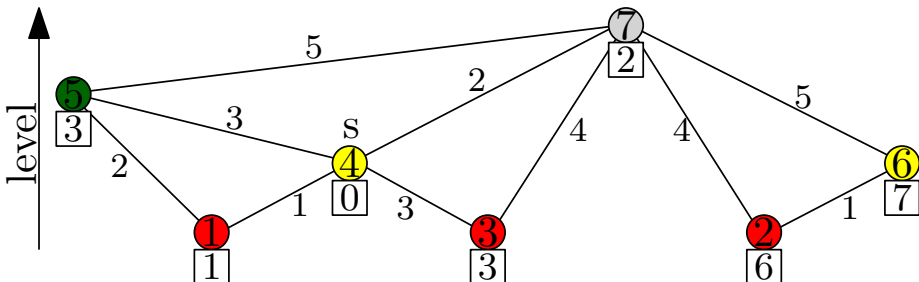
one-to-all Suche von s :

- vorwärts CH Suche von s (≈ 0.05 ms)
- setze Distanzen d für alle erreichten Knoten
- bearbeite alle Knoten u in **inverser** Levelordnung:
 - checke **eingehende** Kanten (v, u) mit $lev(v) > lev(u)$
 - setze $d(u) = \min\{d(u), d(v) + w(v, u)\}$



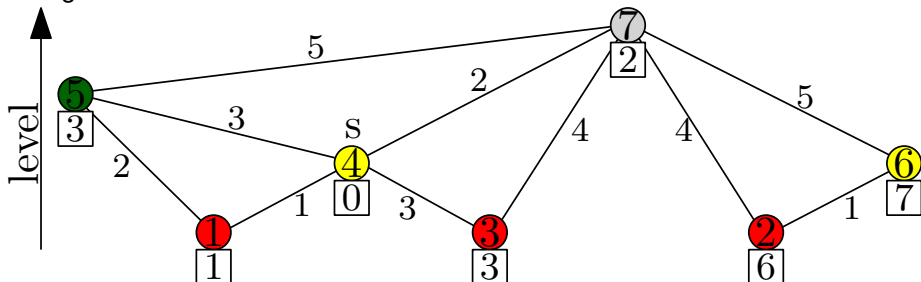
one-to-all Suche von s :

- vorwärts CH Suche von s (≈ 0.05 ms)
- setze Distanzen d für alle erreichten Knoten
- bearbeite alle Knoten u in **inverser** Levelordnung:
 - checke **eingehende** Kanten (v, u) mit $lev(v) > lev(u)$
 - setze $d(u) = \min\{d(u), d(v) + w(v, u)\}$
- **top-down** Bearbeitung ohne Priority Queue (ca. 2.0 s)



one-to-all Suche von s :

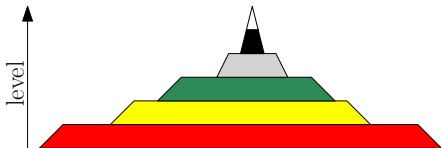
- vorwärts CH Suche von s (≈ 0.05 ms)
- setze Distanzen d für alle erreichten Knoten
- bearbeite alle Knoten u in **inverser** Levelordnung:
 - checke **eingehende** Kanten (v, u) mit $lev(v) > lev(u)$
 - setze $d(u) = \min\{d(u), d(v) + w(v, u)\}$
- **top-down** Bearbeitung ohne Priority Queue (ca. 2.0 s)
- genauso schnell wie BFS. Warum das Ganze?



Analyse

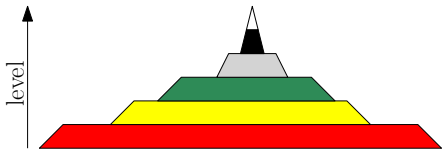
Beobachtung:

- top-down Prozess ist der Flaschenhals



Beobachtung:

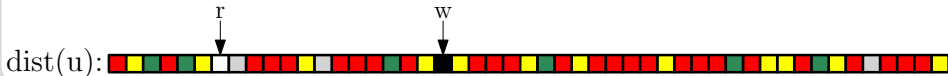
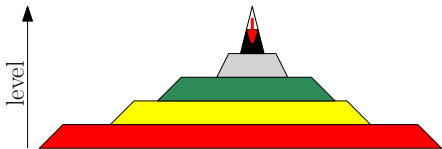
- top-down Prozess ist der Flaschenhals
- Zugriff auf die Daten ist immer noch **ineffizient**



$\text{dist}(u)$: 

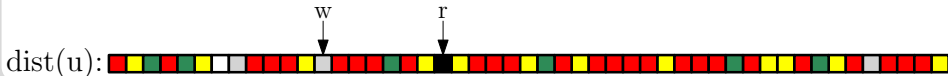
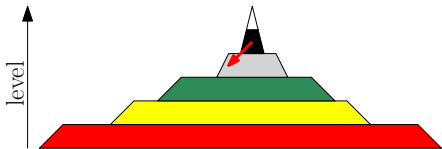
Beobachtung:

- top-down Prozess ist der Flaschenhals
- Zugriff auf die Daten ist immer noch **ineffizient**



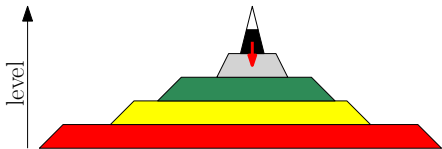
Beobachtung:

- top-down Prozess ist der Flaschenhals
- Zugriff auf die Daten ist immer noch **ineffizient**



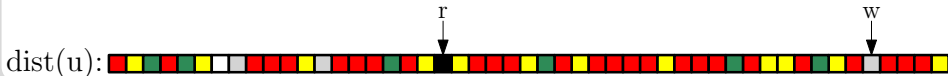
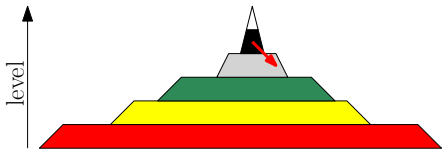
Beobachtung:

- top-down Prozess ist der Flaschenhals
- Zugriff auf die Daten ist immer noch **ineffizient**



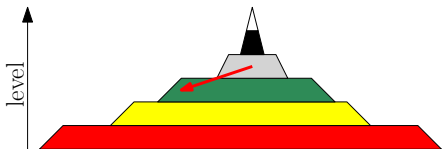
Beobachtung:

- top-down Prozess ist der Flaschenhals
- Zugriff auf die Daten ist immer noch **ineffizient**



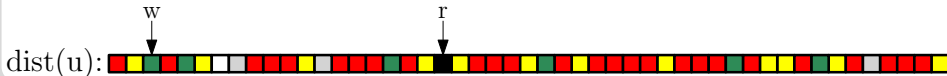
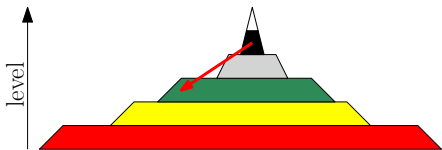
Beobachtung:

- top-down Prozess ist der Flaschenhals
- Zugriff auf die Daten ist immer noch **ineffizient**



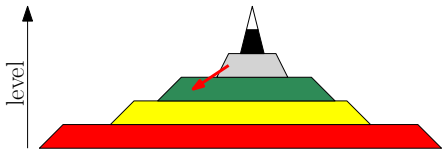
Beobachtung:

- top-down Prozess ist der Flaschenhals
- Zugriff auf die Daten ist immer noch ineffizient



Beobachtung:

- top-down Prozess ist der Flaschenhals
- Zugriff auf die Daten ist immer noch **ineffizient**
- Zugriffsmuster sind **unabhängig** von s

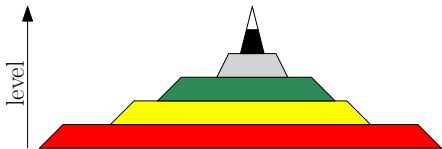


Beobachtung:

- top-down Prozess ist der Flaschenhals
- Zugriff auf die Daten ist immer noch **ineffizient**
- Zugriffsmuster sind **unabhängig** von s

Idee:

- speicher G_{\uparrow} und G_{\downarrow} separat
 - **Umordnung** der Knoten, Kanten, und Distanzlabel nach Level
- ⇒ lesen der Kanten
und schreiben der Distanzen
wird zu einem **sequenziellen Sweep**

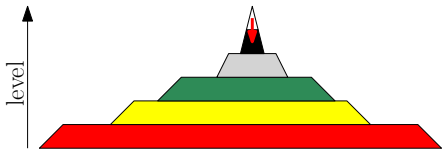


Beobachtung:

- top-down Prozess ist der Flaschenhals
- Zugriff auf die Daten ist immer noch **ineffizient**
- Zugriffsmuster sind **unabhängig** von s

Idee:

- speicher G_{\uparrow} und G_{\downarrow} separat
 - **Umordnung** der Knoten, Kanten, und Distanzlabel nach Level
- ⇒ lesen der Kanten und schreiben der Distanzen wird zu einem **sequenziellen Sweep**

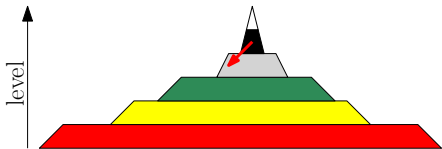


Beobachtung:

- top-down Prozess ist der Flaschenhals
- Zugriff auf die Daten ist immer noch **ineffizient**
- Zugriffsmuster sind **unabhängig** von s

Idee:

- speicher G_{\uparrow} und G_{\downarrow} separat
 - **Umordnung** der Knoten, Kanten, und Distanzlabel nach Level
- ⇒ lesen der Kanten
und schreiben der Distanzen
wird zu einem **sequenziellen Sweep**

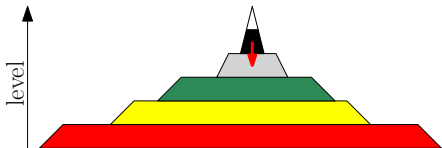


Beobachtung:

- top-down Prozess ist der Flaschenhals
- Zugriff auf die Daten ist immer noch **ineffizient**
- Zugriffsmuster sind **unabhängig** von s

Idee:

- speicher G_{\uparrow} und G_{\downarrow} separat
 - **Umordnung** der Knoten, Kanten, und Distanzlabel nach Level
- ⇒ lesen der Kanten
und schreiben der Distanzen
wird zu einem **sequenziellen Sweep**

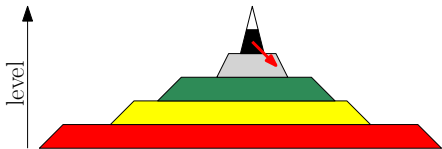


Beobachtung:

- top-down Prozess ist der Flaschenhals
- Zugriff auf die Daten ist immer noch **ineffizient**
- Zugriffsmuster sind **unabhängig** von s

Idee:

- speicher G_{\uparrow} und G_{\downarrow} separat
 - **Umordnung** der Knoten, Kanten, und Distanzlabel nach Level
- ⇒ lesen der Kanten
und schreiben der Distanzen
wird zu einem **sequenziellen Sweep**

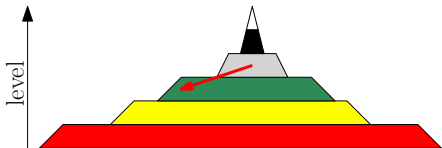


Beobachtung:

- top-down Prozess ist der Flaschenhals
- Zugriff auf die Daten ist immer noch **ineffizient**
- Zugriffsmuster sind **unabhängig** von s

Idee:

- speicher G_{\uparrow} und G_{\downarrow} separat
 - **Umordnung** der Knoten, Kanten, und Distanzlabel nach Level
- ⇒ lesen der Kanten
und schreiben der Distanzen
wird zu einem **sequenziellen Sweep**

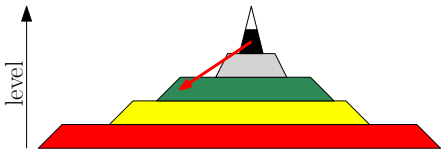


Beobachtung:

- top-down Prozess ist der Flaschenhals
- Zugriff auf die Daten ist immer noch **ineffizient**
- Zugriffsmuster sind **unabhängig** von s

Idee:

- speicher G_{\uparrow} und G_{\downarrow} separat
 - **Umordnung** der Knoten, Kanten, und Distanzlabel nach Level
- ⇒ lesen der Kanten
und schreiben der Distanzen
wird zu einem **sequenziellen Sweep**

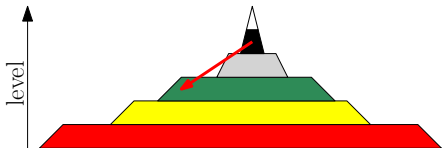


Beobachtung:

- top-down Prozess ist der Flaschenhals
- Zugriff auf die Daten ist immer noch **ineffizient**
- Zugriffsmuster sind **unabhängig** von s

Idee:

- speicher G_{\uparrow} und G_{\downarrow} separat
 - **Umordnung** der Knoten, Kanten, und Distanzlabel nach Level
- ⇒ lesen der Kanten
und schreiben der Distanzen
wird zu einem **sequenziellen Sweep**
- ⇒ 172 ms pro Baum

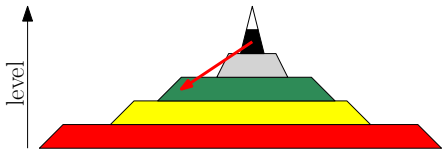


Beobachtung:

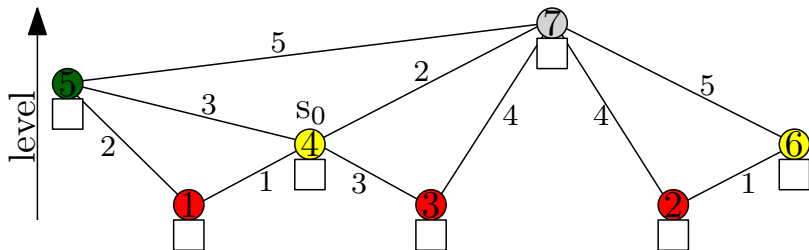
- top-down Prozess ist der Flaschenhals
- Zugriff auf die Daten ist immer noch **ineffizient**
- Zugriffsmuster sind **unabhängig** von s

Idee:

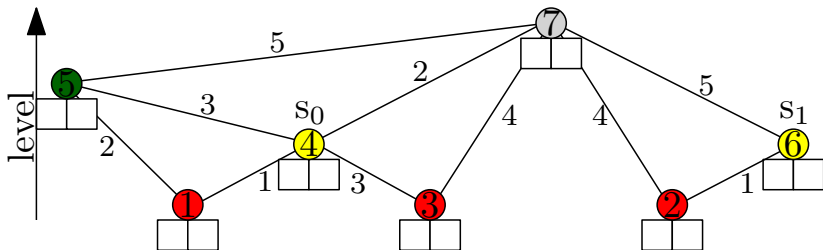
- speicher G_{\uparrow} und G_{\downarrow} separat
 - **Umordnung** der Knoten, Kanten, und Distanzlabel nach Level
- ⇒ lesen der Kanten und schreiben der Distanzen wird zu einem **sequenziellen Sweep**
- ⇒ 172 ms pro Baum
- aber lesen der Distanzen immer noch **ineffizient**



Szenario: Multiple Startknoten

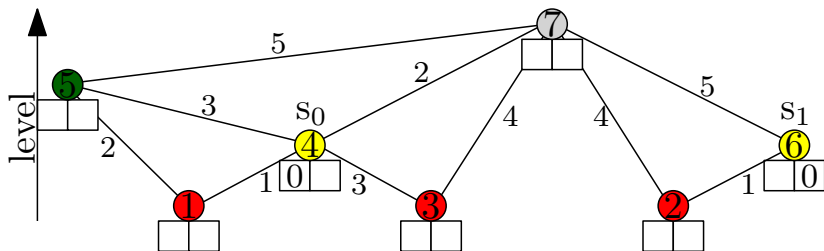


Szenario: Multiple Startknoten



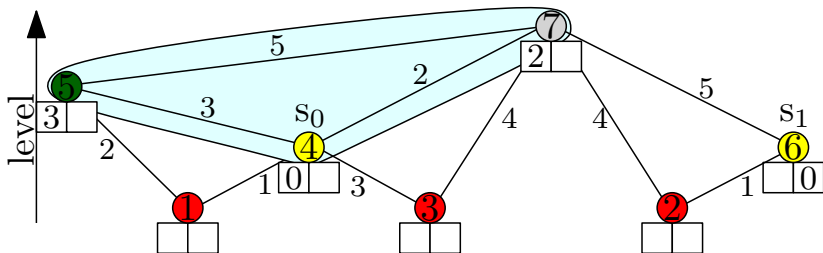
Szenario: Multiple Startknoten

- k Vorwärtssuchen



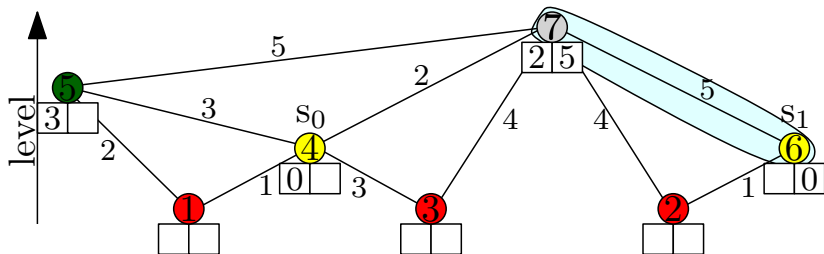
Szenario: Multiple Startknoten

- k Vorwärtssuchen



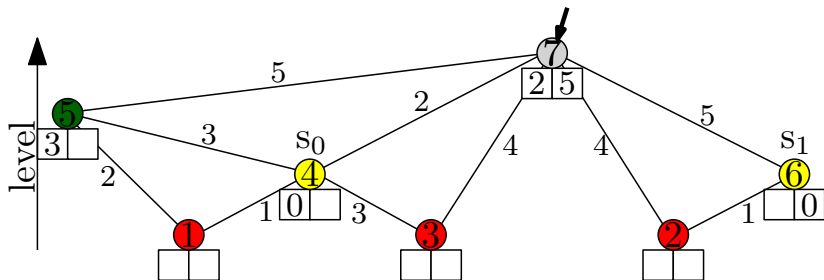
Szenario: Multiple Startknoten

- k Vorwärtssuchen



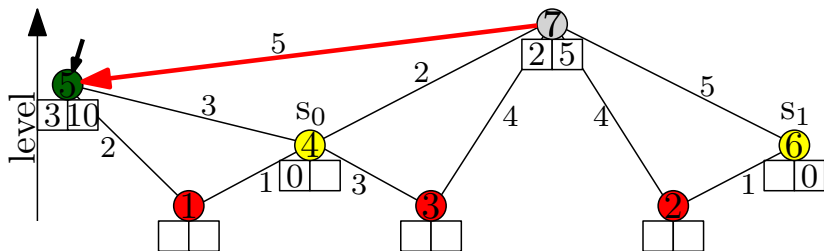
Szenario: Multiple Startknoten

- k Vorwärtssuchen
- ein sweep (update aller k Werte)
- speicher Distanzlabel pro Knoten



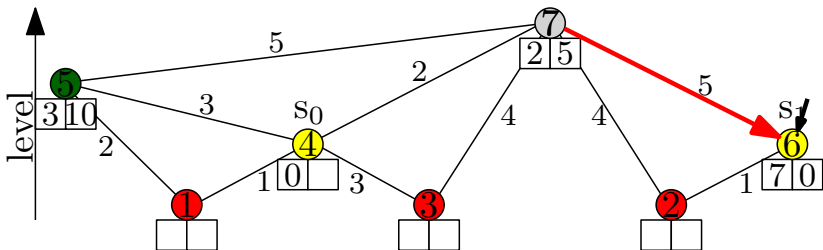
Szenario: Multiple Startknoten

- k Vorwärtssuchen
- ein sweep (update aller k Werte)
- speicher Distanzlabel pro Knoten



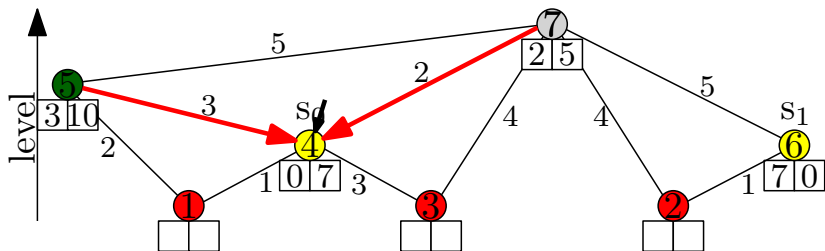
Szenario: Multiple Startknoten

- k Vorwärtssuchen
- ein sweep (update aller k Werte)
- speicher Distanzlabel pro Knoten



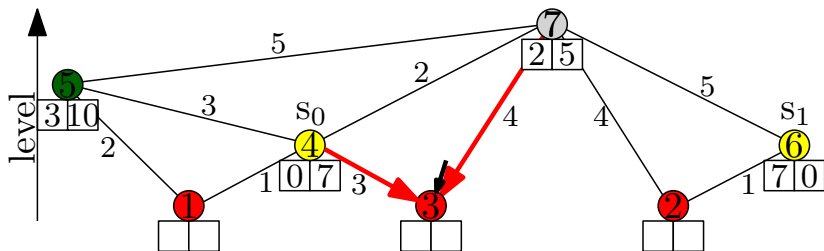
Szenario: Multiple Startknoten

- k Vorwärtssuchen
- ein sweep (update aller k Werte)
- speicher Distanzlabel pro Knoten



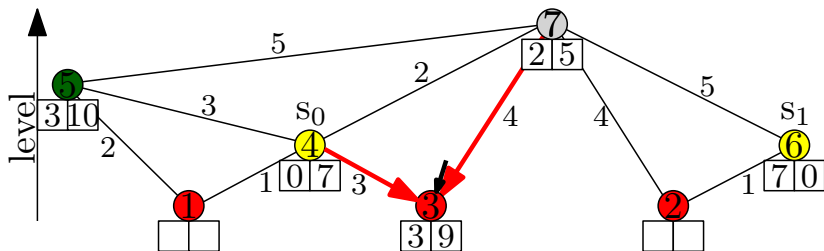
Szenario: Multiple Startknoten

- k Vorwärtssuchen
- ein sweep (update aller k Werte)
- speicher Distanzlabel pro Knoten



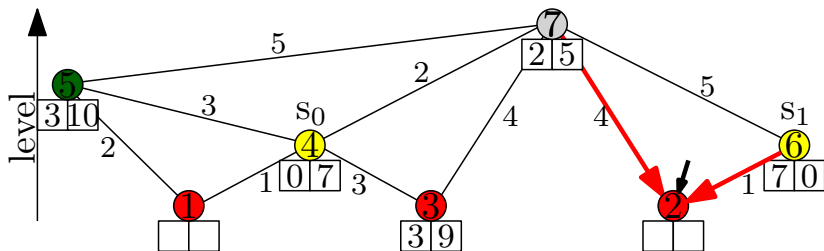
Szenario: Multiple Startknoten

- k Vorwärtssuchen
- ein sweep (update aller k Werte)
- speicher Distanzlabel pro Knoten



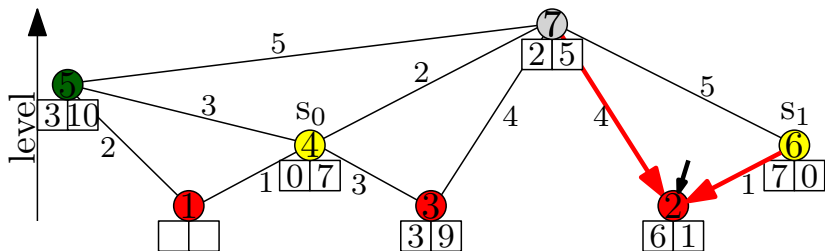
Szenario: Multiple Startknoten

- k Vorwärtssuchen
- ein sweep (update aller k Werte)
- speicher Distanzlabel pro Knoten



Szenario: Multiple Startknoten

- k Vorwärtssuchen
- ein sweep (update aller k Werte)
- speicher Distanzlabel pro Knoten
- Vorteil: Mehr Daten pro Lesezugriff
- 96.8 ms pro Baum ($k = 16$)



- SIMD : Single Instruction Multiple Data
- Spezielle CPU-Instruktion die mit Vektoren fester Länge arbeiten und nur einen CPU-Takt benötigen

- Gibt es in allen modernen x86 Prozessoren
- 128 Bit Registers à 4×32 Bit oder à 8×16 Bit Ganzzahlen

- Die 128-Bit x86 Implementierung heißt SSE
- SIMD ist das generelle Konzept

- Neuerdings gibt es auch
 - Die 256-Bit x86 Implementierung heißt AVX
 - Die 512-Bit x86 Implementierung wird kommen aktuell nur in Xeon-Phi zu haben

Ohne SSE:

```
int a[8], b[8], c[8];  
c[0]=a[0]+b[0];    c[1]=a[1]+b[1];    c[2]=a[2]+b[2];  
c[3]=a[3]+b[3];    c[4]=a[4]+b[4];    c[5]=a[5]+b[5];  
c[6]=a[6]+b[6];    c[7]=a[7]+b[7];
```

8 Zeiteinheiten

Mit SSE:

```
_mm128i a[2], b[2], c[2];  
c[0]= _mm_add_epi32(a[0], b[0]);  
c[1]= _mm_add_epi32(a[1], b[1]);
```

2 Zeiteinheiten

Aber: Beschleunigung von 4 gibt es nur bei compute-bound Algorithmen.

Ohne SSE:

```
short a[8], b[8], c[8];  
c[0]=a[0]+b[0];    c[1]=a[1]+b[1];    c[2]=a[2]+b[2];  
c[3]=a[3]+b[3];    c[4]=a[4]+b[4];    c[5]=a[5]+b[5];  
c[6]=a[6]+b[6];    c[7]=a[7]+b[7];
```

8 Zeiteinheiten

Mit SSE:

```
__m128i a, b, c;  
c = _mm_add_epi16(a, b);
```

Eine Zeiteinheit

Aber: Beschleunigung von 8 gibt es nur bei compute-bound Algorithmen.

Einfache if/else-Konstrukte gibt es auch.

Ohne SSE:

```
short a[8],b[8],c[8];  
for(int i=0; i<8; ++i)  
    c[i] = a[i] < b[i] ? a[i] : b[i];
```

Mit SSE:

```
__m128i a,b,c;  
c=_mm_blendv_epi8(a,b,_mm_cmplt_epi16(a,b));
```

Einfache if/else-Konstrukte gibt es auch.

Ohne SSE:

```
short a[8], b[8], c[8];  
for (int i=0; i<8; ++i)  
    c[i] = a[i] < b[i] ? a[i] : b[i];
```

Mit SSE:

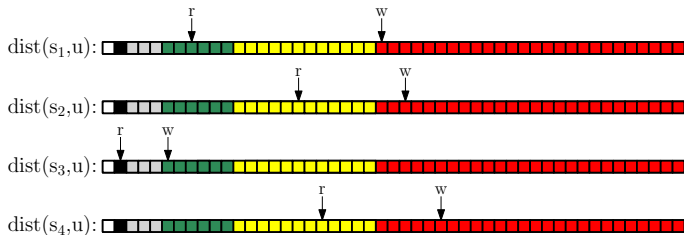
```
__m128i a, b, c;  
c = _mm_blendv_epi8(a, b, _mm_cmplt_epi16(a, b));
```

Oder einfach die Minimumanweisung verwenden:

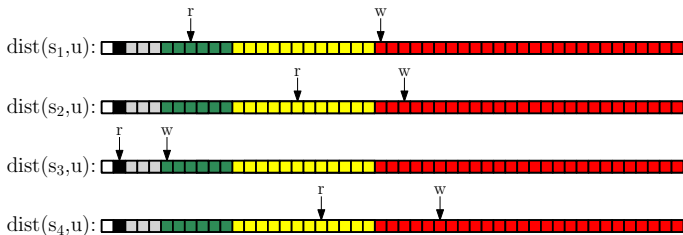
```
__m128i a, b, c;  
c = _mm_min_epi16(a, b);
```

- Bei mehreren Bäumen: PHAST Operationen können mit SSE umgesetzt werden
- scanne 4 Distanzlabel auf einmal
- 37.1 ms pro Baum ($k = 16$)

- Jeder Thread arbeitet unterschiedliche Startknoten ab



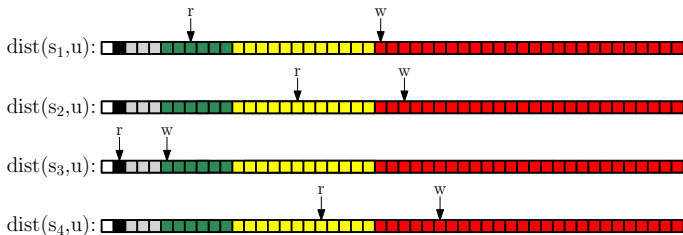
- Jeder Thread arbeitet unterschiedliche Startknoten ab



Ergebnisse:

- 16 Startknoten pro Sweep (updates via SSE)
- multi-core nach Startknoten \Rightarrow 64 Startknoten parallel (4 cores)
- 18.8 ms per Baum

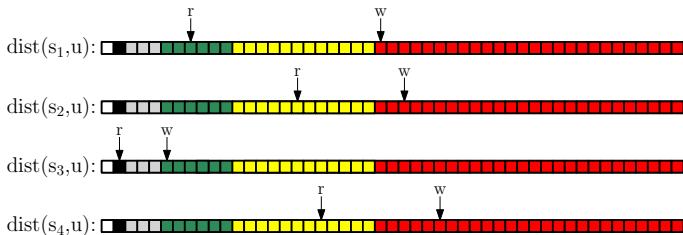
- Jeder Thread arbeitet unterschiedliche Startknoten ab



Ergebnisse:

- 16 Startknoten pro Sweep (updates via SSE)
- multi-core nach Startknoten \Rightarrow 64 Startknoten parallel (4 cores)
- 18.8 ms per Baum
- Warum kein perfekter Speedup?

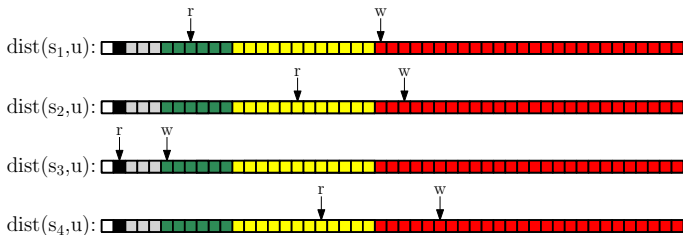
- Jeder Thread arbeitet unterschiedliche Startknoten ab



Ergebnisse:

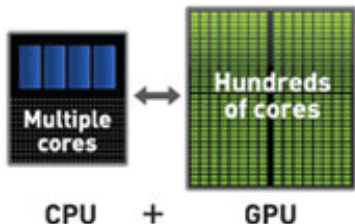
- 16 Startknoten pro Sweep (updates via SSE)
- multi-core nach Startknoten \Rightarrow 64 Startknoten parallel (4 cores)
- 18.8 ms per Baum
- Warum kein perfekter Speedup?
- lower bound tests zeigen: nah an Speicherbandbreite

- Jeder Thread arbeitet unterschiedliche Startknoten ab



Ergebnisse:

- 16 Startknoten pro Sweep (updates via SSE)
- multi-core nach Startknoten \Rightarrow 64 Startknoten parallel (4 cores)
- 18.8 ms per Baum
- Warum kein perfekter Speedup?
- lower bound tests zeigen: nah an Speicherbandbreite
- kann eine GPU helfen?



Intel Xeon X5680:

- 3.33 GHz, oft ≥ 10 GB RAM
- 32 GB/s Speicherbandbreite
- 6 Kerne
- SIMD/SSE mit 4 floats/ints per Vektor

NVIDIA GTX 580:

- 772 MHz, 1.5 GB RAM
- 192 GB/s Speicherbandbreite
- 16 Kerne, 32 parallele Threads pro Kern
⇒ 512 parallele Threads
- eingeschränkte Berechnungen

512 Threads?

Gemeinsamer Codezeiger:

- GPU Threads innerhalb eines Kerns haben einen gemeinsamen Codezeiger.
- If-Bedingung wahr für ein Thread → Alle Threads durchlaufen den Wahr-Block.
 - Aber für die falsch-Threads werden die Anweisungen ausmaskiert.
- Schleifen dauern immer so lange wie der längste Thread braucht.
- Stichwort: Single Instruction Multiple Threads

Verwandt mit SIMD:

- Jede Vektorkomponente ist ein "Thread".
- Beim komponentenweisen if-else wird auch eine Seite ausmaskiert.

Gemeinsamer Codezeiger:

- GPU Threads innerhalb eines Kerns haben einen gemeinsamen Codezeiger.
- If-Bedingung wahr für ein Thread → Alle Threads durchlaufen den Wahr-Block.
 - Aber für die falsch-Threads werden die Anweisungen ausmaskiert.
- Schleifen dauern immer so lange wie der längste Thread braucht.
- Stichwort: Single Instruction Multiple Threads

Verwandt mit SIMD:

- Jede Vektorkomponent ist ein "Thread".
- Beim komponentenweisen if-else wird auch eine Seite ausmaskiert.

Fairerer Vergleich:

- $772 \text{ MHz} \times 16 \text{ Kerne} \times 32 \text{ "Threads"} = 395264$
- $3.33 \text{ GHz} \times 6 \text{ Kerne} \times 4 \text{ SIMD-Vektor} = 79992$
- In optimalen Bedingungen bis zu 5-mal mehr Berechnungen

- Der Transfer CPU-Speicher \leftrightarrow GPU-Speicher ist langsam.
- GPU-Threads zwischen Kernen synchronisieren ist sehr teuer. Geht nur indem die CPU die Arbeit in mehrere Jobs aufteilt.
- Keine Cache-Kohärenz zwischen Cores:
 - 1 Core A schreibt einen neuen Wert and die Adresse 42.
 - 2 Core B liest die Adresse 42 aus, aber erhält den alten Wert.Erklärung: Der neue Wert steckt noch im Cache von A fest.
- Langsam, wenn GPU-Threads durcheinander auf den Speicher zugreifen.

GPHAST - Ideen

Beobachtungen:

- Aufwärtsuche ist schnell
- Flaschenhals ist der lineare Sweep
- Speicherbandbreite das Problem

Beobachtungen:

- Aufwertsuche ist schnell
- Flaschenhals ist der lineare Sweep
- Speicherbandbreite das Problem

Idee:

- speicher CH und Distanzarray auf der GPU
- Aufwärtssuche auf der CPU
- kopiere besuchte Knoten zur GPU (weniger als 2 kB)
- **Wichtig:** Nur die besuchten kopieren, nicht alle
- linearen Sweep auf der GPU

Beobachtungen:

- Aufwertsuche ist schnell
- Flaschenhals ist der lineare Sweep
- Speicherbandbreite das Problem

Idee:

- speicher CH und Distanzarray auf der GPU
- Aufwärtssuche auf der CPU
- kopiere besuchte Knoten zur GPU (weniger als 2 kB)
- **Wichtig:** Nur die besuchten kopieren, nicht alle
- linearen Sweep auf der GPU

Problem:

- nicht genug Speicher auf GPU um Tausende von Bäumen parallel zu bearbeiten
- wir müssen eine einzelne Baumberechnung parallelisieren

Beobachtung:

- beim Scannen von Level i :
 - nur eingehende Kanten von level $> i$ wichtig
 - schreiben von Distanzlabeln in Level i , lesen von Level $> i$
 - Distanzlabel für Level $> i$ sind korrekt
- scannen eines Level- i Knoten ist **unabhängig** von anderen Level- i Knoten



Beobachtung:

- beim Scannen von Level i :
 - nur eingehende Kanten von level $> i$ wichtig
 - schreiben von Distanzlabeln in Level i , lesen von Level $> i$
 - Distanzlabel für Level $> i$ sind korrekt
- scannen eines Level- i Knoten ist **unabhängig** von anderen Level- i Knoten



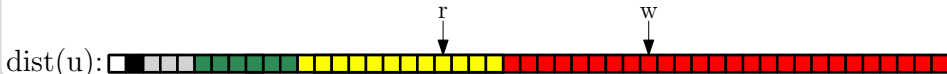
Beobachtung:

- beim Scannen von Level i :
 - nur eingehende Kanten von level $> i$ wichtig
 - schreiben von Distanzlabeln in Level i , lesen von Level $> i$
 - Distanzlabel für Level $> i$ sind korrekt
- scannen eines Level- i Knoten ist **unabhängig** von anderen Level- i Knoten



Beobachtung:

- beim Scannen von Level i :
 - nur eingehende Kanten von level $> i$ wichtig
 - schreiben von Distanzlabeln in Level i , lesen von Level $> i$
 - Distanzlabel für Level $> i$ sind korrekt
- scannen eines Level- i Knoten ist **unabhängig** von anderen Level- i Knoten



Beobachtung:

- beim Scannen von Level i :
 - nur eingehende Kanten von level $> i$ wichtig
 - schreiben von Distanzlabeln in Level i , lesen von Level $> i$
 - Distanzlabel für Level $> i$ sind korrekt
- scannen eines Level- i Knoten ist **unabhängig** von anderen Level- i Knoten

Idee:

- scanne alle Knoten auf Level i **parallel**
- Synchronization nach jedem Level
- ein Thread pro Knoten



Beobachtung:

- beim Scannen von Level i :
 - nur eingehende Kanten von level $> i$ wichtig
 - schreiben von Distanzlabeln in Level i , lesen von Level $> i$
 - Distanzlabel für Level $> i$ sind korrekt
- scannen eines Level- i Knoten ist **unabhängig** von anderen Level- i Knoten

Idee:

- scanne alle Knoten auf Level i **parallel**
- Synchronization nach jedem Level
- ein Thread pro Knoten



Beobachtung:

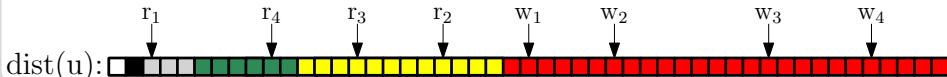
- beim Scannen von Level i :
 - nur eingehende Kanten von level $> i$ wichtig
 - schreiben von Distanzlabeln in Level i , lesen von Level $> i$
 - Distanzlabel für Level $> i$ sind korrekt
- scannen eines Level- i Knoten ist **unabhängig** von anderen Level- i Knoten

Idee:

- scanne alle Knoten auf Level i **parallel**
- Synchronization nach jedem Level
- ein Thread pro Knoten

results:

- 5.5 ms auf NVIDIA GTX 580
- Beschleunigung von 511 gegenüber Dijkstra



Beobachtung:

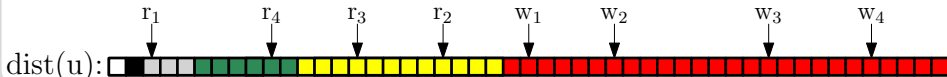
- beim Scannen von Level i :
 - nur eingehende Kanten von level $> i$ wichtig
 - schreiben von Distanzlabeln in Level i , lesen von Level $> i$
 - Distanzlabel für Level $> i$ sind korrekt
- scannen eines Level- i Knoten ist **unabhängig** von anderen Level- i Knoten

Idee:

- scanne alle Knoten auf Level i **parallel**
- Synchronization nach jedem Level
- ein Thread pro Knoten

results:

- 5.5 ms auf NVIDIA GTX 580
- Beschleunigung von 511 gegenüber Dijkstra
- (mehrere Bäume: 2.2 ms)



PHAST auf 4-Kern Workstation (Core-i7 920)

sources/ sweep	time per tree [ms]					
	1 core		2 cores		4 cores	
1	171.9		86.7		47.1	
4	121.8	(67.6)	61.5	(35.5)	32.5	(24.4)
8	105.5	(51.2)	53.5	(28.0)	28.3	(20.8)
16	96.8	(37.1)	49.4	(22.1)	25.9	(18.8)

Werte in Klammern mit SSE aktiviert

PHAST auf Nvidia GTX 580

trees / sweep	memory [MB]	time [ms]
1	395	5.53
2	464	3.93
4	605	3.02
8	886	2.52
16	1448	2.21

algorithm	device	Europe		USA	
		time	distance	time	distance
Dijkstra	4-core workstation	947.72	609.19	1269.12	947.75
	12-core server	288.81	177.58	380.40	280.17
	48-core server	168.49	108.58	229.00	167.77
PHAST	4-core workstation	18.81	22.25	27.11	28.81
	12-core server	7.20	8.27	10.42	10.71
	48-core server	4.03	5.03	6.18	6.58
GPHAST	GTX 580	2.21	3.88	3.41	4.65

Beobachtung:

- Beschleunigung für Distanzmetrik geringer

All-Pairs Shortest Paths

Eingabe: Europa mit Reisezeiten

algorithm	device	time	energy [MJ]
Dijkstra	4-core workstation	197d	
	12-core server	60d	
	48-core server	35d	
PHAST	4-core workstation	94h	
	12-core server	36h	
	48-core server	20h	
GPHAST	GTX 580		

All-Pairs Shortest Paths

Eingabe: Europa mit Reisezeiten

algorithm	device	time	energy [MJ]
Dijkstra	4-core workstation	197d	
	12-core server	60d	
	48-core server	35d	
PHAST	4-core workstation	94h	
	12-core server	36h	
	48-core server	20h	
GPHAST	GTX 580	11h	

Eingabe: Europa mit Reisezeiten

algorithm	device	time	energy [MJ]
Dijkstra	4-core workstation	197d	
	12-core server	60d	
	48-core server	35d	
PHAST	4-core workstation	94h	
	12-core server	36h	
	48-core server	20h	
GPHAST	GTX 580	11h	

4-core workstation without GPU: 163 watts

4-core workstation with GPU: 375 watts

12-core server: 332 watts

48-core server: 747 watts

Eingabe: Europa mit Reisezeiten

algorithm	device	time	energy [MJ]
Dijkstra	4-core workstation	197d	2780.6
	12-core server	60d	1725.9
	48-core server	35d	2265.5
PHAST	4-core workstation	94h	55.2
	12-core server	36h	43.0
	48-core server	20h	54.2
GPHAST	GTX 580	11h	14.9

4-core workstation without GPU: 163 watts

4-core workstation with GPU: 375 watts

12-core server: 332 watts

48-core server: 747 watts

bis jetzt:

- nur Distanzen berechnet, nicht Bäume

bis jetzt:

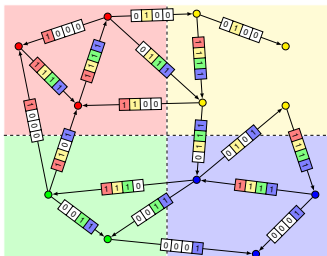
- nur Distanzen berechnet, nicht Bäume

Idee:

- iteration über alle Kanten (1 Thread pro Kante)
- Wenn $d(v) + \text{len}(v, u) = d(u)$ dann ist v der Vorgänger von u (sofern kürzeste Wege eindeutig sind)

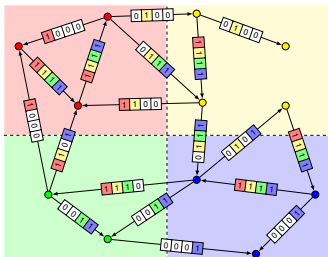
Idee:

- benutze GPHAST zum Berechnen der Bäume von den Randknoten aus



Idee:

- benutze GPHAST zum Berechnen der Bäume von den Randknoten aus
- setze Flags durch zusätzlichen Sweep auf GPU
Wichtig, weil alle Bäume “auf CPU kopieren” teuer ist



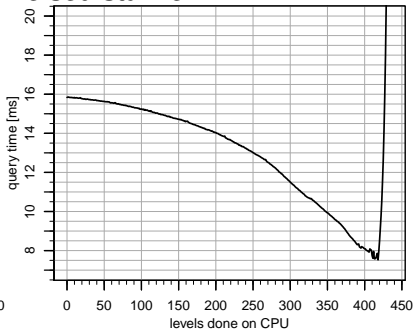
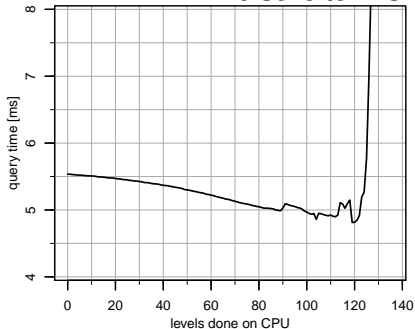
Beobachtung:

- Synchronisation des Level kostet Zeit auf der GPU ($5 \mu\text{s}$ pro Level)
- obere Level sind klein

Idee:

- beginne linearen Sweep auf CPU (bis Level k)
- kopiere Suchraum und alle Distanzlabel für Knoten oberhalb k zur GPU
- restlicher Scan auf der GPU

Reisezeiten vs. Reisedistanzen



Es lohnt sich, ein Paar Level auf der CPU zu berechnen.

- neuer Algorithmus für kürzeste Wege Bäume
- **skaliert** auf Modern Architektur
- ein Baum auf GPU: **5.5 ms**
(ungefähr **0.31 ns** pro Eintrag)
- **real-time** Berechnung von kompletten Bäumen
- 16 Bäume auf einer GPU auf einmal: 2.2 ms pro Baum
(ungefähr **0.13 ns** pro Eintrag)
- APSP in **11 Stunden** (auf workstation mit einer GPU),
anstellen von 6 Monaten (auf 4 Kernen)
- erlaubt APSP-basierte Berechnungen
- **150** mal Energie-effizienter als Dijkstras Algorithmus
- funktioniert nur, wenn CH funktioniert

Wie kann man folgende Anwendungen mit PHAST beschleunigen?
Welche sind auf der GPU schneller?

- Stau-Updates für Techniken eine APSP-basierte Vorberechnung haben
- APSP-Matrix berechnen und im Speicher halten
- Diameter berechnen
- ALT
- Reach

Wie kann man folgende Anwendungen mit PHAST beschleunigen?
Welche sind auf der GPU schneller?

- Stau-Updates für Techniken eine APSP-basierte Vorberechnung haben
Geht nicht, da 11h Reaktionszeit zu langsam sind
- APSP-Matrix berechnen und im Speicher halten
Geht nicht, da es nicht genug RAM gibt um die Ergebnisse im Speicher zu halten.
- Diameter berechnen
Geht. **CPU**: Straight-Forward **GPU**: Geht, aber man darf nur eine parallele Maximumbildung über alle n Einträge machen. Sonst ist es langsamer als auf der CPU.
- ALT
Geht auf der CPU, GPU -; CPU Transfer zu teuer
- Reach
Geht. **CPU**: Straight-Forward **GPU**: Baumhöhenberechnung dominiert. Auf der CPU ist es oft schneller.



Julian Arz, Dennis Luxen, and Peter Sanders.

Transit node routing reconsidered.

In *Proceedings of the 12th International Symposium on Experimental Algorithms (SEA'13)*, volume 7933 of *Lecture Notes in Computer Science*, pages 55–66. Springer, 2013.



Holger Bast, Stefan Funke, and Domagoj Matijevic.

Transit - ultrafast shortest-path queries with linear-time preprocessing.

In *The Shortest Path Problem: Ninth DIMACS Implementation Challenge* -, November 2006.



Holger Bast, Stefan Funke, Domagoj Matijevic, Peter Sanders, and Dominik Schultes.

In transit to constant shortest-path queries in road networks.

In *Proceedings of the 9th Workshop on Algorithm Engineering and Experiments (ALENEX'07)*, pages 46–59. SIAM, 2007.



Edsger W. Dijkstra.

A note on two problems in connexion with graphs.

Numerische Mathematik, 1(1):269–271, 1959.



Michael L. Fredman and Robert Tarjan.

Fibonacci heaps and their uses in improved network optimization algorithms.

Journal of the ACM, 1987.



Andrew V. Goldberg.

A simple shortest path algorithm with linear average time.

In *Proceedings of the 9th Annual European Symposium on Algorithms (ESA'01)*, volume 2161 of *Lecture Notes in Computer Science*, pages 230–241, 2001.



Robert Geisberger, Peter Sanders, Dominik Schultes, and Christian Vetter.

Exact routing in large road networks using contraction hierarchies.

Transportation Science, 46(3):388–404, August 2012.



Ulrich Meyer and Peter Sanders.

δ -stepping: A parallelizable shortest path algorithm.

Journal of Algorithms, 49(1):114–152, 2003.